

**3509.**

T.C.  
EGE ÜNİVERSİTESİ  
FEN BİLİMLERİ ENSTİTÜSÜ  
GIDA TEKNOLOJİSİ ANABİLİM DALI

Gıdaların Donmasının  
Sayısal Yöntemle İncelenmesi  
ve  
Donma Sürelerinin Öngörülmesi

**YÜKSEK LİSANS TEZİ**

**Hazırlayan : SEMİH TEVFİK ENGEZ**  
**Danışman : Doç. Dr. COŞKAN İLICALI**

Bornova - İZMİR  
1988

**T. C.**  
Yüksekokretim Kurulu  
Dokümantasyon Merkezi

## Ö N S Ö Z

Dondurularak saklama yöntemlerini son yıllarda diğer dayanıklı kılma yöntemlerinden daha yaygın bir uygulama alanı bulduğu gözlenmektedir. Dondurulma teknolojisinin gelişmesi yanında teknolojinin verimli olarak kullanılması gerekmektedir.

Dondurulan gıda maddesinin çözündürüldükten sonra istenen kalitede olması için dondurma işlemi mümkün olan en kısa sürede gerçekleştirmelidir. Gerek dondurulan ürün kalitesi gerekse enerji tasarrufu ve işletme kapasitesi açısından gıdaların donma süreleri nin önceden belirlenmesinde büyük yararlar olduğu saptanmıştır.

## İÇİNDEKİLER

Sayfa No:

|  |    |
|--|----|
| 1. GİRİŞ   | 1  |
| 2. LİTERATÜR ÖZETLERİ  | 3  |
| 2.1. Donma Hızı, Donma Süresi ve Donma Süresini<br>Etkileyen Faktörler         | 3  |
| 2.2. Donma Süresinin Üngörülmesi ve Üngörme<br>Yöntemlerinin Değerlendirilmesi | 4  |
| 2.3. Donma Süresi Üngörme Yöntemleri   | 5  |
| 2.3.1. Basit formüller (Analitik yöntemler)                                    | 5  |
| 2.3.2. Sayısal yöntemler   | 9  |
| 2.4. Sayısal ve Analitik Yöntemlerin Karşılaştırılması                         | 16 |
| 2.5. Üngörme Yöntemlerinin Değerlendirilmesi                                   | 16 |
| 3. MATERİYAL ve METOD  | 18 |
| 3.1. Materyal  | 18 |
| 3.2. Metod   | 21 |
| 3.2.1. Geçici rejimde ısı aktarım denklemleri<br>ve sınır koşulları            | 21 |
| 3.2.2. Denklemlerin sonlu farklar haline<br>getirilmesi                        | 23 |
| 3.2.3. Isı aktarım katsayısının hesaplanması                                   | 25 |
| 3.2.4. Isıl Özellikler   | 26 |
| 3.2.5. Eşdeğer çap hesaplanması  | 26 |
| 3.2.6. Sayısal çözüm yöntemi   | 27 |
| 3.2.7. Bilgisayar programlarının oluşturulması                                 | 31 |

Sayfa No:

|   |    |
|---|----|
| 4. BULGULAR                                   | 34 |
| 4.1. Dikdörtgenler Prizması Şeklinde Dondurma | 34 |
| 4.2. Sonlu Silindir Şeklinde Dondurma         | 36 |
| 4.3. Küre Şeklinde Dondurma                   | 38 |
| 5. TARTIŞMA                                   | 42 |
| 6. SONUÇ                                      | 48 |
| ÖZET  |    |
| SUMMARY                                       |    |
| LİTERATÜR LİSTESİ                             |    |
| EKLER   |    |
| TEŞEKKÜR                                      |    |

## ÇİZELGE LİSTESİ

| <u>Çizelge No:</u> | <u>Çizelge Adı</u>  | <u>Sayfa No:</u> |
|--------------------|---|------------------|
| 1                  | Dikdörtgenler prizması şeklindeki patates püresi ve kıymaya ait donma verileri ve öngörülen donma süreleri              | 35               |
| 2                  | Sonlu silindir şeklindeki patates püresi ve kıymaya ait donma verileri ve öngörülen donma süreleri                      | 37               |
| 3                  | Küre şeklindeki patates püresi ve kıymaya ait donma verileri ve öngörülen donma süreleri                                | 39               |
| 4                  | Öngörülen donma sürelerinin ortalaması hataları ve standart sapmaları   | 40               |
| 5                  | Literatürden alınan donma verilerinin değerlendirilmesi   | 41               |
| 6                  | CLELAND ve EARLE (1984 a)'daki sonlu farklar yöntemi sonuçlarının bu çalışmadaki yöntem sonuçları ile karşılaştırılması | 43               |
| 7                  | Bu çalışmada yapılan denemelerin analitik yöntemlerle değerlendirilmesi   | 46               |
| 8                  | DeneySEL ve öngörülen donma süreleri arasındaki maksimum ve minimum hatalar   | 48               |
| 9                  | Çeşitli yayınlardaki geometrik şekillere göre bulunan ortalaması değerler   | 49               |

## ŞEKİL LİSTESİ

| <u>Sekil No:</u> | <u>Sekil Adı</u>  | <u>Sayfa No:</u> |
|------------------|---|------------------|
| 1                | Fark problemi   | 10               |
| 2                | Fark probleminde noktalar eğininin oluşturulması                                    | 11               |
| 3                | Açık form   | 12               |
| 4                | Patates ve kıymaya şekil vermek için<br>kullanılan bakır levhadan yapılmış kalıplar | 18               |
| 5                | İsi aktarım katsayılarını belirlemek için<br>kullanılan alüminyum bloklar           | 19               |
| 6                | Dondurulma işleminin yapıldığı hava akımlı<br>dondurucu                             | 20               |
| 7                | Sonsuz bir levhada tek yönlü isi aktarımı   | 23               |
| 8                | M. $\Delta x$ kalınlığında bir sonsuz levhada sıcaklık<br>dağılımı                  | 28               |
| 9                | Bilgisayar programı akış şeması   | 33               |

## EKLER LİSTESİ

| <u>Ek No:</u> | <u>Ek Adı</u>                                 |
|---------------|---|
| 1             | Dikdörtgenler prizması için soğuma eğrileri   |
| 2             | Sonlu silindir için soğuma eğrileri           |
| 3             | Küre için soğuma eğrisi                       |
| 4             | Sonsuz levha için bilgisayar programı         |
| 5             | Sonsuz silindir için bilgisayar programı      |
| 6             | Küre için bilgisayar programı                 |
| 7             | Semboller                                     |
| 8             | Bilgisayar programında kullanılan değişkenler |

## ABSTRACT

Basit geometrik şekle sahip sonsuz levha, sonsuz silindir ve küre şeklindeki gıda maddelerinin donma sürelerini sonlu farklar yöntemiyle hesaplayabilmek için bilgisayar programları oluşturulmuş ve değişik ısı aktarım katsayısı, şekil ve gıda maddeleri ile yapılan deneme sonuçları ve literatürden alınan Tylose, patates, kıyma ve yağsız et için donma verileri ile karşılaştırılmıştır. Sonuçlar, sonsuz levha için % +0.7, sonsuz silindir için % -6.2, küre için % -6.2, dikdörtgenler prizması için % -4.8 ve sonlu silindir için % +4.6 ortalama hata ile bulunmuştur. Sonlu silindir ve dikdörtgenler prizması şeklindeki gıda maddeleri için bir eşdeğer çap kavramı geliştirilmiş, bulunan sonuçlardan bu kavramın kullanılabilir olduğu bulunmuştur.

## ABSTRACT

It was the aim of this thesis computer programmes for calculating the freezing times of the materials with simple geometrical shapes was prepared and the numerical predictions were compared with experimental freezing time data. Computer programmes employing an implicit finite difference technique were prepared and these programmes were run using freezing data Tylose, mashed potato, ground beef and lean beef from the literature and using the experimental data obtained in this work. The composite data was predicted with mean errors -6.2 % for infinite cylinders, +0.7 % for infinite slabs, -6.2 % for spheres, -4.8 % for brick-shaped and +4.6 % for finite cylinders. The equivalent diameter concept used in freezing time calculations of the finitely cylindrical and brick-shaped foods seemed to be a valid formulation.

## 1. GİRİŞ

Gidaların bir kısmı taze olarak tüketilirken bir kısmı da daha sonra hammadde olarak ya da gerektiği zaman kullanılmak üzere korunulmaya çalışılmaktadır. Meyve-sebze ve et gibi gıda maddeleri su niceliklerinin fazla olması nedeniyle bozulmaya eğrisi duyarlıdır.

Suyun, bozulmaya neden olan mikroorganizmalar tarafından kullanılması için sıvı fazda olması gerekmektedir. Dondurma işlemi ile su katı faza geçirilerek mikroorganizmalar tarafından kullanılabilirliği engellenmektedir. Dondurma işleminin ikinci ve esas etkisi, belirli bir sıcaklık derecesinin altında mikroorganizma faaliyetlerini tamamen durdurmasıdır. Gerek gıda zehirlenmesine neden olan mikroorganizmaların gerekse psikofilik mikroorganizmaların faaliyetleri  $-10^{\circ}\text{C}$ 'ın altında kesinlikle durmaktadır.

Dondurma işleminin yeteri kadar etkili olması ve dondurulan gıdanın çözündürülüğünde istenen kalitede olabilmesi için dondurma işleminin mümkün olan en kısa sürede tamamlanması gerekmektedir. Bu zorunluluk gıda maddesinin en geç soğuyan noktasının (isıl merkez) en kısa zamanda istenilen sıcaklığa düşürülmesi anlamına gelmektedir.

Dondurulma süresi donmuş ürün kalitesine etkisi yanında, enerji kullanımını ve işletme kapasitesine de etkimektedir. Dondurulacak ürünün gereğinden fazla dondurucuda kalması enerji tüketimini artıracak ve işletme kapasitesini düşürecektir. En iyi dondurulma koşullarının saptanması için gerekli donma süresinin önceden tahmin edilmesi yanı öngörülmesi gerekmektedir.

Vakıf  
Vakıf  
Dokümantasyon Merkezi

Bu çalışmada basit geometrik şekillere sahip gıda maddelerinin donma sürelerini "sonlu farklar" ("finite differences") yöntemiyle hesaplayabilmek amaçlanmıştır. Bu amaçla bilgisayar programları yazılmış ve değişik ısı aktarım katsayıları, şekil ve gıda maddeleri ile yapılan denemelerden elde edilen sonuçlar ile bilgisayar programlarının çalıştırılmasından elde edilen sonuçlar karşılaştırılmıştır.

Oluşturulan bilgisayar programları dondurulmuş gıda maddeleri üreten bir işletmede işlem koşullarını belirlemeye ve yeni ürünler için işletmenin adaptasyonunu sağlamada kullanılabilir.

## 2. LİTERATÜR ÖZETLERİ

### 2.1. Donma Hızı, Donma Süresi ve Donma Süresini Etkileyen Faktörler

Dondurulmuş gıdanın kalite karakteristiklerinin çoğu donma hızının fonksiyonu olan buz kristalli boyutundan etkilenir. Donma süresi bir dizayn parametresi olmasına rağmen, dondurma sistemlerinin kapasitesi direkt olarak üründen uzaklaştırılan ısı enerjisine bağlıdır (HELDMAN 1983).

Uluslararası Soğuk Enstitüsü'nce (IIR 1972) benimsenen tanımına göre bir gıda maddesinin donma hızı yüzeyden ısıt merkezine en kısa mesafe ile yüzeyinin  $0^{\circ}\text{C}$ 'a gelmesi ve ısıt merkezinin buz oluşum sıcaklığından  $10^{\circ}\text{C}$  daha soğuk olması arasında geçen süre arasındaki orandır. Mesafe cm, süre saat(h) ve donma hızı cm/saat olarak ifade edilir.

Yüksek donma hızı istenmesinin nedenleri ve yararları şöyle özetlenebilir (CEMEROĞLU 1986):

- a- Hücre içinde küçük buz kristalleri oluştuguundan hücre fazla zedelenmez ve böylece hücre içi sıvısının birbirine aşırı derecede karışması önlenir.
- b- Su, bulunduğu yerde buz kristaline dönüsür ve böylece hücreler arası boşluğa geçmesi sınırlanır.
- c- Hücreler arası boşluklarda küçük buz kristalleri oluşumu sağlanarak hücrenin fiziksel yapısının bozulması önlenir.
- d- Birçok gıda maddesi için kritik bölge olan donmanın olduğu  $0^{\circ}\text{C}$  ile  $-4^{\circ}\text{C}$  arası hızla aşılmış olur.
- e- Mikroorganizmaların faaliyetlerinin tamamen durduğu sıcaklık derecelerine hızla erişildiğinden, donma sırasında mikrobiyolojik bozulma olasılığı ortadan kalkar.

f- Ekipmanların uzun süre işgal edilmesi önlendiğinden dondurma sisteminin kapasitesi arttırılabılır.

"Donma süresi" deyimi değişik yayınlarda çok farklı şekillerde tanımlanmaktadır da bunların içinde en geçerli olanı IIR (1972) tarafından yapılan tanımlamadır. Bu tanıma göre belirli boyutlarda ve  $0^{\circ}\text{C}$  tekdüze bir başlangıç sıcaklığında belirli bir Ürünün nominal donma süresi ıslı merkezinin, donma başlangıç sıcaklığından  $10^{\circ}\text{C}$  daha soğuk olması için geçen süredir.

Donma süresi gıdaya ve soğutma ortamına ait bazı faktörlerden etkilenmektedir. Bu faktörler (HELDMAN 1983):

- Ürünün boyutları
- Dondurucu ortam sıcaklığı
- Ürün ilk sıcaklığı
- Isı aktarım katsayısı
- Donma başlangıç sıcaklığı
- Ürünün su içeriği
- Donmamış Ürün yoğunluğu
- Donmayan su yüzdesi

## 2.2. Donma Süresinin Öngörülmesi ve Öngörme Yöntemlerinin Değerlendirilmesi

Gıdalar için donma sürelerinin hesaplanması eşzamanlı faz değişimi, değişen ıslı özellikler ve daha bir çok nedenlerden dolayı karışık bir ısı aktarım modelidir (MASCHERONI ve CALVELO 1982).

Donma süresi hesaplama yöntemleri genellikle iki grupta toplanır. Sayısal yöntemler ve basit formüller (analitik yöntemler). Son grubum içinde analitik olarak çıkartılmış formüllere dayanan yöntemler bulunmaktadır ve

bunların bazıları deneySEL verilerin bir eğriye uydurulmaları ile çıkarılmışlardır. Herhangi bir donma süresi öngörme yönteminin kullanıldığı yerlerde belirsizlik kaçınılmaz olacaktır. Bu belirsizliğin kaynakları şunlardır:

a- Materyalin donmaya başladığı zaman için ıslı verilerdeki ( $k$ ,  $\rho$ ,  $c$ ) belirsizlik.

b- Kesin olarak bilinmeyen donma koşulları, özellikle yüzey ıslı aktarım katsayısı ( $h$ )

c- Öngörme yönteminin çıkartılışında yapılan kabuller ve yaklaşımlar

Genel bir yaklaşım en iyi donma süresi öngörme formülünün bu üç gruptaki hataların en düşük tutulması ile gerçekleşeceğidir (CLELAND ve EARLE 1984 a).

### 2.3. Donma Süresi Öngörme Yöntemleri

#### 2.3.1. Basit formüller (Analitik yöntemler)

Analitik yöntem olarak çoğunlukla Planck (1913) denklemi veya bu denklemenin uyarlamaları kullanılmaktadır (MASCHERONI ve CALVELO 1982).

Genellikle analitik öngörme modellerinde hesaplamalardaki karışıklıkları gidermek için kabuller yapılmıştır. Yapılan kabullerin bazıları şunlardır:

a- Dondurulan materyal tekduze bir ilk sıcaklığı sahiptir ve soğutulduğu ortam sıcaklığı sabittir

b- ıslı aktarımı, materyal içinden iletimle olmaktadır. Yüzey ıslı aktarım katsayısı tekduze ve sabittir

c- Materyalin özellikleri donmuş ve donmamış durumda değişmemektedir.

Bununla birlikte iki konum için kesinlikle farklı olmaktadır.

d- Gıda maddesi bütün donma ısısını bıraktığı belirli bir donma noktasına sahiptir.

(RAMASWAMY ve TUNG 1984).

Analitik yöntemler hakkında bir fikir verebilmek amacıyla çok kullanılan bazıları aşağıda verilmiştir:

Plank Denklemi: 1913 yılında Plank tarafından öne sürülen bu model basitliği nedeniyle yaygın olarak kullanılan donma süresi öngörme yöntemidir. Bu model esas olarak üç basit ilişkiye dayanır.

a- Yüzeyden soğutma ortamına ısı aktarımı

b- Donma noktasında latent ısının aşağıya çıkması

c- Donmuş materyalde iletimle olan ısı aktarımı

Bu üç ilişkinin bileşiminden donma süresini öngören formül:

$$t = \frac{\rho' \cdot L}{(T_f - T_a)} \left[ \frac{P}{h} + \frac{R}{k'} D^2 \right] \quad (1)$$

Formülde,  $t$  donma süresini,  $\rho'$  donma noktasının altındaki yoğunluğu,  $L$  latent ısı,  $T_f$  donma noktası sıcaklığını,  $T_a$  ortam sıcaklığını,  $P$  ısı aktarım katsayısını,  $k'$  donma noktasının altındaki ısıl iletkenlik katsayısını,  $D$  küre ya da sonsuz silindir için çap, sonsuz levha için kalınlığı,  $P$  ve  $R$  dondurulacak materyalin geometrisine bağlı olarak değişen sabitleri göstermektedir.  $P$  ve  $R$  sırası ile sonsuz levha için 0.5 ve 0.125, sonsuz silindir için 0.250 ve 0.0625, ve küre için 0.167 ve 0.0416'dır. Dikdörtgenler prizması şeklindeki materyaller için  $P$  ve  $R$  değerleri EDE (1949) tarafından verilen grafikten bakılmaktadır.

Plank denkleminin çıkartılmasında bazı ek varsayımlar bulunmaktadır.

- a- Dondurulacak materyalin sıcaklığı donma işleminin başlangıcından sonuna kadar donma noktasındadır
- b- Materyal ve donma ortamı arasında kararlı bir ısı aktarımı vardır
- c- Ürün içindeki bütün su donma işleminden önce sıvı fazdadır

Bu varsayımlardan ötürü Plank modeli soğuma ve donma sonrası soğuma peryodlarını dikkate almaz (RAMASWAMY ve TUNG 1984). Bir çok araştırmacı Plank modelinde modelin dikkate olmadığı noktaları dikkate alarak bir takım uyarlamalar yapmıştır. Bu uyarlamaların bazıları şunlardır:

Nagaoka Uyarlaması: NAGAOKA ve ark. (1955), Plank denklemini hava ekimli dondurucuda taze balığın donma süresini öngörmek için aşağıda görüldüğü gibi uyarlamışlardır.

$$t = \left[ 1 + 0.008 T_1 \right] \frac{Q \cdot p'}{(T_f - T_a)} \left[ P \frac{D}{h} + R \frac{D^2}{k'} \right] \quad (2)$$

Burada  $T_1$  Ürün ilk sıcaklığını,  $Q$  ön soğuma, faz değişimi ve donma sonrası soğuma peryodlarında materyalin birim kütlesinden uzaklaştırılan ısını gösterir (Denklem 3).

$$Q = C(T_1 - T_f) + L + C'(T_f - T_a) \quad (3)$$

Denklem (3)'te  $C$  Ürünün donma sıcaklığı üstündeki,  $C'$  Ürünün donma sıcaklığı altındaki özgül ısısını göstermektedir (RAMASWAMY ve TUNG 1984).

Cleland ve Earle uyarlaması: CLELAND ve EARL (1977) uyarlaması şöyledir:

$$t = \frac{\Delta H}{(T_f - T_a)} \left[ P \frac{D}{h} + R \frac{D^2}{k'} \right] \quad (4)$$

CLELAND ve EARL (1977), Plank denklemindeki P ve R değerlerini aşağıdaki gibi ifade etmiştir:

$$P = 0.5072 + 0.2018 Pk + Ste (0.3224 Pk + 0.0105 / Bi + 0.0681) \quad (5)$$

$$R = 0.1684 + Ste (0.2740 Pk - 0.0135) \quad (6)$$

Denklem (4), (5) ve (6)'daki terimler şunlardır:

$\Delta H$ :  $T_f$  ve  $-10^0\text{C}$  arasındaki entalpi değişimi

Pk : Plank sayısı

$$Pk = \left[ C (T_i - T_f) \right] / \Delta H \quad (7)$$

Ste: Stefan sayısı

$$Ste = \left[ C' (T_f - T_a) \right] / \Delta H \quad (8)$$

(CLELAND ve EARL 1977).

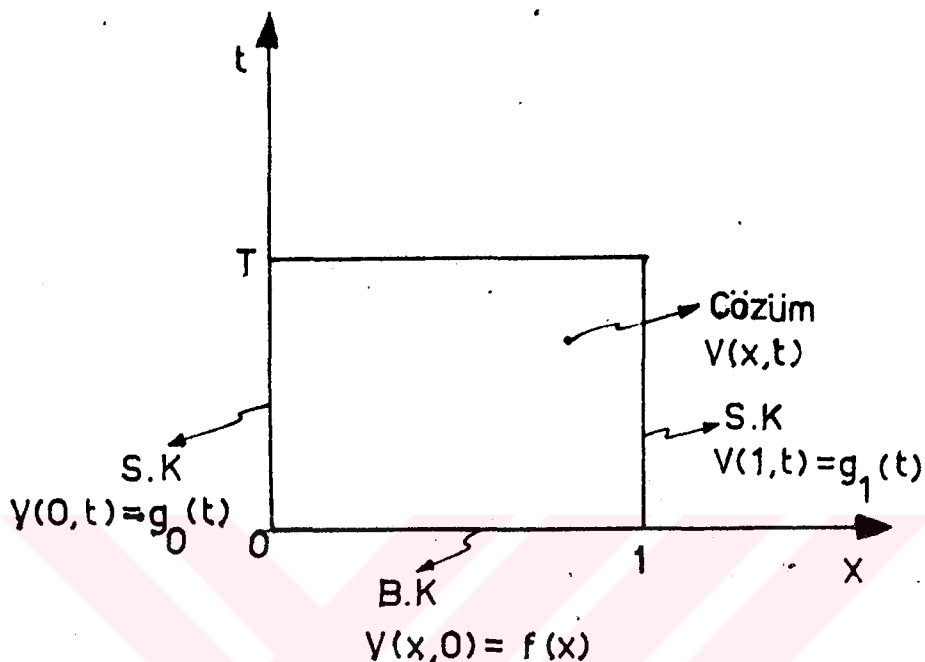
Yukarıdaki uyarlamalara ek olarak LEVY (1958), PLANK (1963), MOTT (1964), COWEL (1967), LUIKOV (1968), BAKAL ve HAYAKAWA (1970), IIR (1972), MELLOR (1976), RAMASWAMY (1979), CLELAND ve EARLE (1979 a, b), CLELAND ve EARLE (1982), MASCHERONI ve CALVELO (1982), HUNG ve THOMPSON (1983), CLELAND ve EARLE (1984), PHAM (1984), ILICALI ve SAĞLAM (1987) donma zamanını öngörmek için çeşitli analitik yöntemler geliştirmiştir.

### 2.3.2. Sayısal yöntemler

Dönme süresinin öngörülmesinde kullanılan iki tip sayısal yöntem vardır. Bunlar "Sonlu Farklar" ve "Sonlu Elemanlar" (Finite Elements) yöntemleridir. Sonlu elemanlar yöntemi düzgün olmayan, yani belirgin bir geometriye sahip olmayan materyallerin dönme sürelerinin öngörülmesinde kullanılıktadır. Genellikle, yapılan çalışmalarda deneysel veri setleri düzgün şekiller ve tekdüze materyaller için olduğundan sonlu elemanlar yerine sonlu farklar yöntemi kullanılmaktadır (CLELAND ve EARLE 1984 a).

Bir kısmi diferansiyel denklemi sonlu farklar teknigi kullanarak çözmek için ilk olarak bağımsız değişkenlerce işgal edilmiş ilgili bölgenin her yerinde yatay ve dikey çizgilerin kesişmesinden oluşan noktalar (grid) eğilim kurulur. Örneğin, bağımsız değişkenler olarak uzaklık ( $x$ ) ve zaman ( $t$ ) ve sırası ile nokta yerlerinin aralarındaki fark  $\Delta x$  ve  $\Delta t$  olduğu varsayılsın. ( $i$ ) ve ( $n$ ) alt indisleri nokta olarak adlandırılan  $i\Delta x$ ,  $n\Delta t$  koordinatlarına sahip yerleri belirtmek için kullanılır.

$t = 0$  da bir ilk sıcaklık dağılımı ile sonradan zamanın fonksiyonu olabilecek sıcaklıkta korunan uçlara sahip izole edilmiş bir çubuk düşünülses (CARNAHAN ve ark. 1969). Herhangi bir  $t > 0$  anında çubuktaki sıcaklık dağılımı  $V(x,t)$ , uygun boyutsuz değişkenlerin belirlenmesi ve çubukta fiziksel özelliklerin sabit olduğu varsayılarak çözülebilir. Problem şekil 1.'de gösterildiği gibi denklem (10)'daki ilk ve sınır koşulları ile diferansiyel eşitlik olarak tanımlanabilir.(Denklem (9)).



Şekil 1. Fark problemi

$$\frac{\partial V}{\partial t} = - \frac{\partial^2 V}{\partial x^2} \quad 0 < x < 1, \quad 0 < t < T \quad (9)$$

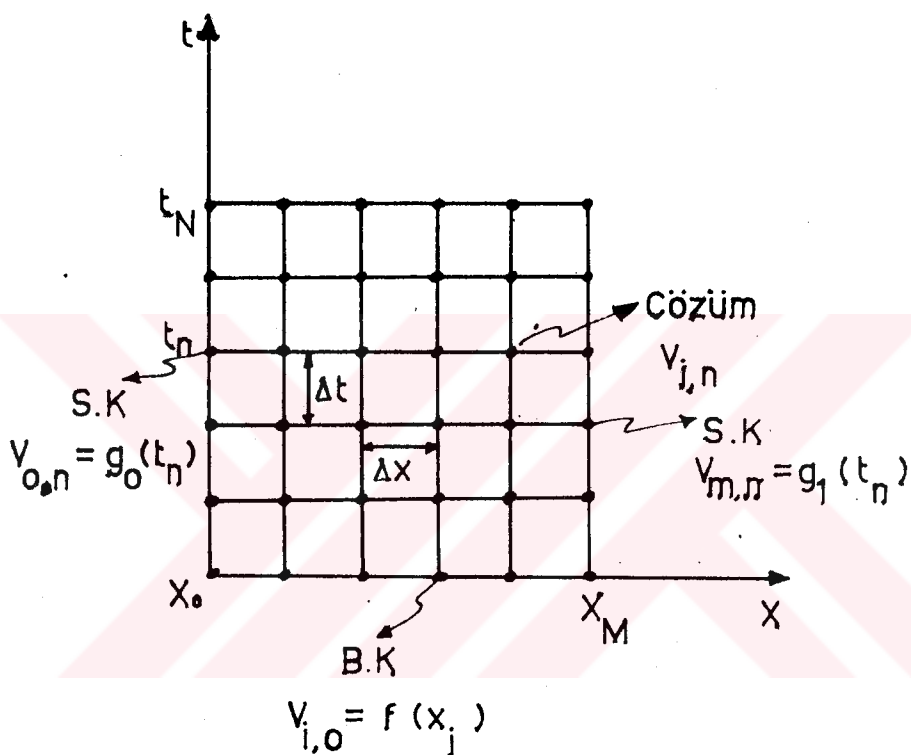
$$V(x,0) = f(x) \quad 0 \leq x \leq 1$$

$$V(0,t) = g_0(t) \quad 0 < t \leq T \quad (10)$$

$$V(1,t) = g_1(t) \quad 0 < t \leq T$$

Burada  $f(x)$  başlangıç,  $g_0(t)$  ve  $g_1(t)$  sınır koşullarıdır.

Denklem (9) ve (10)'un çözümüne yaklaşmak için ilk olarak şekil 2.'de gösterilen  $0 \leq x \leq 1$ ,  $0 \leq t \leq T$  bölgesinin her yerinde noktalar sağlanır.



Şekil 2. Fark probleminde noktalarının oluşturulması.

Nokta yerleşimleri  $\Delta x = 1/M$ ,  $\Delta t = T/N$ 'dir. M ve N keyfi tamsayıdır. Bu problemde (x) ve (t) sınırlarındaki noktaları belirlemek kolaydır, bununla birlikte, bu kolaylık, düzensiz şekillerin sınırları olduğunda iki boyutlu problemlerde nadiren mümkündür.  $i = 0$ ,  $i = M$  veya  $n = 0$ 'ın dışında herhangi bir nokta ( $i, n$ ) için denklem (9) sonlu farklar formu haline getirilirse;

$$\frac{v_{i,n+1} - v_{i,n}}{\Delta t} = \frac{v_{i-1,n} - 2v_{i,n} + v_{i+1,n}}{(\Delta x)^2} \quad (11)$$

şeklini alır. Veya;

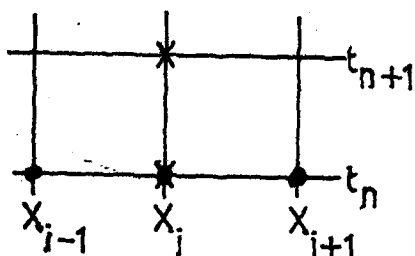
$$\lambda = \frac{\Delta t}{(\Delta x)^2} \quad (12)$$

ise;

$$v_{i,n+1} = \lambda v_{i-1,n} + (1-2\lambda)v_{i,n} + \lambda v_{i+1,n} \quad (13)$$

olur.

Şekil 3.'deki çarpılar ve daireler bu noktaların sırasıyla, zaman  
ve yer farklarını göstermektedir.



Şekil 3. Açık form.

Eğer herhangi bir  $t_n$  zamanında bütün  $v_{i,n}$ 'ler biliniyorsa  
denklem (13),  $v_{i,n+1}$ 'in  $1 \leq i \leq M-1$  için  $t_{n+1}$  zamanında direkt olarak  
hesaplanmasını mümkün kılar.  $i=0$  ve  $i=M$  sınır noktaları için denklem (14)

ve (15) vardır.

$$V_{0,n+1} = g_0(t_{n+1}) \quad (14)$$

$$V_{1,n+1} = g_1(t_{n+1}) \quad (15)$$

$t=0$ 'dan  $V$ 'nin ilk değerleri denklem (16)'daki gibi düzenlenindiğinden,  $V$ 'nin değerleri denklem (13), (14) ve (15)'in tekrarlanması ile bütün noktalarda açıkça belirlenebilir.

$$V_{i,0} = f(x_i) \quad (16)$$

Bir sonraki zaman dilimi için hesaplamalara geçmeden önce bir evvelki zaman diliminde bütün noktalarda hesaplamaları yapmak gereklidir (CARNAHAN ve ark. 1969).

Donma zamanı öngörülmesinde kullanılan sayısal yöntemler levha şeklinde sahip gıdalarda denklem (17)'nin uygun sınır şartları ve sıcaklığına bağlı fiziksel özelliklerle çözümünü içerirler.

$$\rho(T) c_p(T) \frac{\partial T}{\partial t} = - \frac{\partial}{\partial x} \left[ k(T) \frac{\partial T}{\partial x} \right] \quad (17)$$

Geçici rejimde ısı akışım denkleminde (denklem (17))  $\rho$ ,  $c_p$  ve  $k$  sıcaklık ve konuma bağlı olarak değiştiğinden denklem (17) analitik olarak çözülememektedir. Bu nedenle sayısal olarak çözümü gerekmektedir. Sayısal çözüm için çeşitli sonlu farklar şemaları oluşturulmuştur. Çözüm için kullanılan bu şemaların bazıları şunlardır:

A- Lees şeması:

$$\begin{aligned}
 (\rho C)_n^i \frac{T_n^{i+1} - T_n^{i-1}}{2\Delta t} = \frac{1}{3(\Delta x)^2} \left[ k_{n+1/2}^i \left[ (T_{n+1}^{i+1} - T_n^{i+1}) + \right. \right. \\
 \left. \left. + (T_{n+1}^i - T_n^i) + (T_{n+1}^{i-1} - T_n^{i-1}) \right] - k_{n-1/2}^i \left[ (T_n^{i+1} - T_{n-1}^{i+1}) + \right. \right. \\
 \left. \left. + (T_n^i - T_{n-1}^i) + (T_n^{i-1} - T_{n-1}^{i-1}) \right] \right] \quad (18)
 \end{aligned}$$

B- Uyarlanmış Crank-Nicholson şeması:

$$\begin{aligned}
 (\rho C)_n^i \frac{T_n^{i+1} - T_n^i}{\Delta t} = \frac{1}{2(\Delta x)^2} \left[ k_{n+1/2}^i \left[ (T_{n+1}^{i+1} - T_n^{i+1}) + \right. \right. \\
 \left. \left. + (T_{n+1}^i - T_n^i) \right] - k_{n-1/2}^i \left[ (T_n^{i+1} - T_{n-1}^{i+1}) + (T_n^i - T_{n-1}^i) \right] \right] \quad (19)
 \end{aligned}$$

C- Tam "Implicit" şema:

$$\begin{aligned}
 (\rho C)_n^i \frac{T_n^{i+1} - T_n^i}{\Delta t} = \frac{1}{(\Delta x)^2} \left[ k_{n+1/2}^i (T_{n+1}^i - T_n^i) - \right. \\
 \left. - k_{n-1/2}^i (T_n^{i+1} - T_{n-1}^{i+1}) \right] \quad (20)
 \end{aligned}$$

D- Tam "Explicit" şema:

$$\begin{aligned}
 (\rho C)_n^i \frac{T_n^{i+1} - T_n^i}{\Delta t} = \frac{1}{(\Delta x)^2} \left[ k_{n+1/2}^i (T_{n+1}^i - T_n^i) - \right. \\
 \left. - k_{n-1/2}^i (T_n^i - T_{n-1}^i) \right] \quad (21)
 \end{aligned}$$

E- Entalpi değişim şeması:

$$\frac{H_n^{i+1} - H_n^i}{\Delta t} = \frac{1}{2(\Delta x)^2} \left[ k_{n+1/2}^i (T_{n+1}^i - T_n^i) - k_{n-1/2}^i (T_n^i - T_{n-1}^i) \right] \quad (22)$$

F- Isıl geçirgenliğin kullanıldığı uyarlanmış Crank-Nicholson şeması:

$$\begin{aligned} \frac{T_n^{i+1} - T_n^i}{\Delta t} = & \frac{1}{2(\Delta x)^2} \left[ (k/\rho C)_{n+1/2}^i \left[ (T_{n+1}^{i+1} - T_n^{i+1}) + \right. \right. \\ & \left. \left. + (T_{n+1}^i - T_n^i) \right] - (k/\rho C)_{n-1/2}^i \left[ (T_n^{i+1} - T_{n-1}^{i+1}) + \right. \right. \\ & \left. \left. + (T_n^i - T_{n-1}^i) \right] \right] \end{aligned} \quad (23)$$

CLELAND ve EARLE (1984 a).

HOHNER ve HELDMAN (1970), FLEMING (1971), BONANICA ve ark. (1973), HELDMAN (1974), HELDMAN ve GORBY (1975), SCHWARTZBERG ve ark. (1977), SCHWARTZBERG (1977), HAYAKAWA (1977), CLELAND ve EARLE (1977), CHARM (1978), CLELAND ve EARLE (1979 a,b) sonlu farklar yöntemini kullanmışlardır. Sonlu elementler yönteminin BONANICA ve COMINI (1973), REBELLATIO ve ark. (1978), PURWADARIA (1980), HELDMAN ve PURWADARIA (1982) tarafından kullanıldığı RAMASWAMY ve TUNG (1984)'te belirtilmektedir.

**2.4. Sayısal ve Analitik Yöntemlerin Karşılaştırılması  
(CLELAND ve EARLE (1977)).**

| <u>Uyarlanmış Planık Eşitliği</u>  | <u>Sonlu Farklar Yöntemi</u>   |
|--|--|
| 1- Sadece el hesaplaması gereklidir.   | 1- Bilgisayar gerektirir. Yaklaşık 2000 zaman adımı ve her biri 50000 işlem gerektirir.                    |
| 2- Çok hızlıdır.   | 2- Bilgisayar programını çalıştırmak için zaman gerektirir. Paket programlar ender olarak kullanılır.      |
| 3- Kullanma maliyeti çok azdır.  | 3- Hesaplama zamanının ve program hazırlanmasının dikkate değer maliyeti olabilir.                         |
| 4- Gerekli ışıl özellikler için az bir bilgi gerektirir. Sadece k ve c'nin iki değerine gerek vardır.    | 4- ışıl özelliklerin sıcaklıkla değişimine ilişkin ayrıntılı bilgi gereklidir.                             |
| 5- Sıcaklık/zaman dağılımını vermez.   | 5- Sıcaklık/zaman dağılımını verir.  |
| 6- Kullanmak için donma hakkında az bilgi gerektirir.  | 6- Paket program olmadığı taktirde sonlu farklar ve donma işleminin ayrıntılı olarak bilinmesi gereklidir. |
| 7- Bütün işlem değişkenlerinin etkisini görmek mümkün değildir. Her parametreye göre denklem düzenlenir. | 7- İşlem değişkenlerinin etkisi programın tekrar çalıştırılması ile belirlenir.                            |

**2.5. Öngörme Yönteminin Değerlendirilmesi**

CLELAND ve EARLE (1984 a), genel olarak öngörme yönteminin değerlendirilmesi için işlem sırasını şu şekilde vermiştir:

1- Aşağıdaki parametrelerin geniş aralıklarla değiştiği deneysel verileri toplamak:

- a- Biot sayısı
- b- İlk ve son sıcaklıklar
- c- Soğutma ortam sıcaklığı
- d- Dondurulan materyal

2- Elde edilen verilere literatürden alınan verileri eklemek. Burada ana problem diğer çalışanlar tarafından kullanılan ıslı özelliklerin belirlenmesidir. Eğer bu özelliklerin bulunduğu bir yayın ele geçirilemezse birçok gıda için bileşenlerinin etkisini gözönüne alan özellikler HELDMAN (1982) vb. kaynaklardan yaklaşık değerler olarak elde edilebilir.

3- Bir sayısal donma süresi öngörme yöntemi için çeşitli deney setleri ile öngörmeleri tamamlamak. Herhangi bir dondurulmuş materyal için aynı ıslı verileri kullanmak, ıslı verilerden gelebilecek hataları ortadan kaldırır.

4- Bulunan yeni yöntem sonuçlarının diğer yöntem sonuçları ile istatistiksel olarak karşılaştırılması.

### 3. MATERİYAL ve METOD

#### 3.1. Materyal

Bu çalışmada donma verileri alınmak üzere yapılan denemelerde ısil özellikkileri belli olan patates püresi (% 79-81 su) ve iyi homojenize edilmiş kıyma (% 63-65 su) kullanılmıştır. Patates ve kıymaya dikdörtgenler prizması (2x4x15 cm) ve sonlu silindir (4x10 cm) şeklini verebilmek için Şekil 4.'de görülen bakır levhadan yapılmış kalıplar kullanılmıştır.



Şekil 4. Patates ve kıymaya şekil vermek için kullanılan bakır levhadan yapılmış kalıplar.

İsi aktarım katsayısını hesaplayabilmek için soğuma eğrilerini belirlemek üzere Şekil 5.'de görülen küre ( $5.85\text{ cm}$ ), dikdörtgenler prizması ( $2\times 4\times 15\text{ cm}$ ) ve sonlu silindir ( $4\times 10\text{ cm}$ ) şeklinde alüminyum bloklar kullanılmıştır.



Şekil 5. İsi aktarım katsayılarını belirlemek için kullanılan alüminyum bloklar.

Dondurulma işlemleri Frigoscandia firmasına ait hava akımlı labore-tuvar tipi dondurucuda (Şekil 6.) gerçekleştirilmiş, donma verileri şe-kil-lendirilmiş gıda maddelerinin ıslı merkezlerine yerleştirilmiş bakır-konstantı (T tipi) ıslileşlerle, Omega firmasına ait 2175 A tipi dijital termometre ve yine aynı firmaya ait 10 kanallı Dataplex otomatik sinyal tarayıcısı ile her dakikada bir ıslı merkez sıcaklıklarını  $-18^{\circ}\text{C}$ 'a düşünceye kadar alınmıştır. Benzer ölçümler alüminyum bloklar için de yapılmıştır.



Şekil 6. Dondurulma işlemlerinin yapıldığı hava akımı dondurucu.

Denemelerde kullanılan patatesler semt pazarından, kıyma Ege Üniversitesi Mühendislik Fakültesi Gıda Mühendisliği Bölümü Et Pilot Tesisi'den sağlanmıştır. Bakır kalıp ve alüminyum bloklar boyutları belirlenerek piyasada yaptırılmıştır.

Bilgisayar programının oluşturulması ve çalıştırılması için Ege Üniversitesi Bilgi İşlem Merkezi'ne eit IBM 370 model bilgisayardan yararlanılmıştır.

### 3.2. Metod

#### 3.2.1. Geçici rejimde ısı akтарım denklemleri ve sınır koşulları

Geçici rejimde levhadan tek yönlü ısı aktarım denklemi aşağıdaki gibi gibidir:

$$\rho c_p \frac{\partial T}{\partial t} = \frac{\partial}{\partial x} \left[ k \frac{\partial T}{\partial x} \right] \quad (24)$$

Yukarıdaki denklemde  $T$  sıcaklığı,  $k$  ısıl iletkenlik katsayısını, yoğunluğu ve  $c_p$  özgül ısıyı göstermektedir. Soğutma ve ısıtma işlemlerinde  $k$ ,  $\rho$  ve  $c_p$  sabit alınabildiği için denklem (24) aşağıdaki gibi yazılabilir:

$$\frac{\partial T}{\partial t} = \alpha \frac{\partial^2 T}{\partial x^2} \quad (25)$$

Burada;

$$\alpha = \frac{k}{\rho c_p}$$

dir.

Ancak gıdaların dondurulması işlemlerinde ısıl özellikler olan  $k$ ,  $\rho$  ve  $c_p$  sıcaklıkla değişmektedir. ısıl özellikler sıcaklığın fonksiyonu olarak yazıldığında;  $T_a$  ortam sıcaklığında,  $2\Delta x$  kalınlığında bir sonsuz levha için geçici rejimde ısı aktarım denkleminin başlangıç

ve sınır koşulları aşağıdaki gibidir:

$$\rho(T) c_p(T) \frac{\partial T}{\partial t} = \frac{\partial}{\partial x} \left[ k(T) \frac{\partial T}{\partial x} \right] \quad (26)$$

Başlangıç koşulu;

$$T = T_1 \quad t \leq 0 \quad 0 \leq x \leq \Delta x \quad (27)$$

Sınır koşulları;

$$-k \frac{\partial T}{\partial x} \Big|_{x=\Delta x} = h (T_w - T_a) \quad x \leq \Delta x, \quad t > 0 \quad (28)$$

$$\frac{\partial T}{\partial x} = 0 \quad x = 0 \quad t > 0 \quad (29)$$

İsıl Özellikleri sıcaklıkla değişen yarıçapları R olan küre ve sonsuz silindir için benzer sınır koşullarına sahip geçici rejimde isıl aktarım denklemleri aşağıdaki gibidir:

Sonsuz silindir için;

$$\rho(T) c_p(T) \frac{\partial T}{\partial t} = \frac{1}{r} \frac{\partial}{\partial r} \left[ r k(T) \frac{\partial T}{\partial r} \right] \quad (30)$$

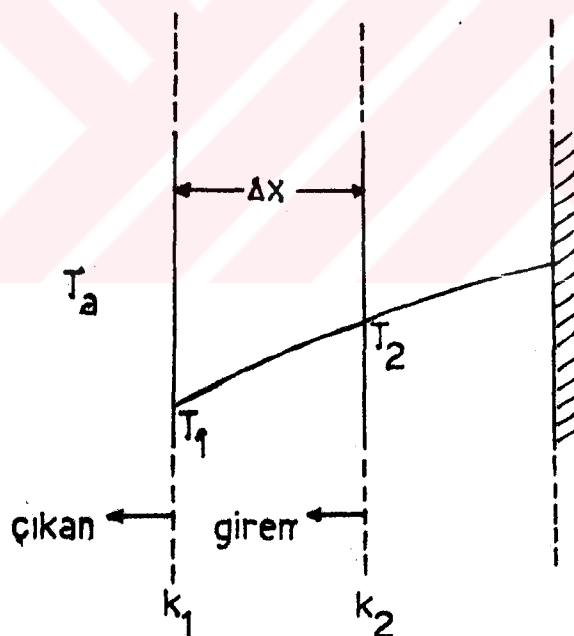
Küre için;

$$\rho(T) c_p(T) \frac{\partial T}{\partial t} = \frac{1}{r^2} \frac{\partial}{\partial r} \left[ r^2 k(T) \frac{\partial T}{\partial r} \right] \quad (31)$$

### 3.2.2. Denklemlerin sonlu farklar haline getirilmesi

İsıl Özelliklerin sıcaklığına bağlı olarak değişmesi halinde geçici rejimde ısı akarım denklemlerinin analitik yöntemlerle çözülmesi olasıdır. Bu yüzden denklemlerin sayısal yöntemler kullanılarak çözülmesi gerekmektedir.

Bir sonsuz levha  $T_a$  sıcaklığına sahip bir ortama konulduğunda yüzey için sonlu farklar denklemi aşağıdaki gibi çıkartılmaktadır:



Şekil 7. Sonsuz bir levhada tek yönlü ısı akarımı

Şekil 7.'deki sistemde ortam, sonsuz levha yüzeyi ve sıcaklığının doğrusal olarak değiştiği kabul edilebilecek  $\Delta x$  kadar içerisinde bir nokta için enerji denkliğini yazarsak;

$$Q_{\text{giren}} - Q_{\text{çıkan}} = Q_{\text{birikim}} \quad (32)$$

$$Q_{\text{giren}} = \frac{k \cdot A}{\Delta x} (T_{2,n} - T_{1,n}) \quad (33)$$

Burada  $T_{1,n}$  n. zamanda yüzey sıcaklığının,  $T_{2,n}$  yüzeyden  $\Delta x$  kadar içerisindeki sıcaklığı, A ısı akarım alanını, k yüzey ( $k_1$ ) ve  $\Delta x$  kadar içerisindeki ( $k_2$ ) noktanın ıslıl iletkenlik katsayılarının ortalamasını göstermektedir (denklem (34)).

$$k = (k_1 + k_2)/2 \quad (34)$$

$$Q_{\text{çıkan}} = h \cdot A \cdot (T_{1,n} - T_a) \quad (35)$$

Burada  $h$  yüzey ısı akarım katsayısidır.

$$Q_{\text{birikim}} = \frac{A \cdot \Delta x \cdot p \cdot c_p}{\Delta t} (T_{1,n} - T_{1,n+1}) \quad (36)$$

Burada  $p$  ve  $c_p$  yüzeydeki yoğunluğu ve özgül ıslayı,  $\Delta t$  zaman aralığını,  $T_{1,n+1}$   $\Delta t$  zaman sonraki yüzey sıcaklığını göstermektedir. Denklem (33), (35) ve (36) düzenlenliğinde bir sonsuz levha için  $\Delta t$  zaman kadar sonra yüzey sıcaklığının ulaşığı değeri aşağıdaki denklemden bulunabilir:

$$T_{1,n+1} = \frac{\Delta x^2 \rho c_p}{\Delta t} \left[ k(T_{2,n} - T_{1,n}) - h \Delta x (T_{1,n} - T_a) \right] + T_{1,n} \quad (37)$$

Denklem (37) sonsuz silindir ve küre için çıkartılmak istenirse, konumla ısı akarım alanının değiştiği gözönüne alınmalıdır. Bu dikkate alınarak yarı çapları  $M \Delta x$  olan sonsuz silindir ve küre için sonlu farklılar denklemleri;

Sonsuz silindir için;

$$T_{1,n+1} = \frac{\Delta x^2 \rho c_p}{\Delta t} \left[ k(T_{2,n} - T_{1,n}) - \left[ \frac{M}{M-0.5} \right] h \Delta x (T_{1,n} - T_a) \right] + T_{1,n} \quad (38)$$

Küre için;

$$T_{1,n+1} = \frac{\Delta x^2 \rho c_p}{\Delta t} \left[ k(T_{2,n} - T_{1,n}) - \left[ \frac{M}{M-0.5} \right]^2 h \Delta x (T_{1,n} - T_a) \right] + T_{1,n} \quad (39)$$

şeklindedir.

### 3.2.3. Isı akarım katayısunının hesaplanması

Isı akarım katayısunı bulmak için HUNG ve THOMPSON (1983)'da anlatılan yöntem kullanılmıştır. Kütlesi M, ısı akarım alanı A, özgül isisi  $c_p$ , ilk sıcaklığı  $T_i$  olan ısıl iletkenlik katayısi yüksek bir madde olan alüminyum  $T_a$  ortam sıcaklığına konarak belirli zaman aralıklarında sıcaklıklarını ( $T$ ) kaydedilmiştir.

$$\frac{M \cdot c_p \cdot \ln \frac{T - T_a}{T_i - T_a}}{A} = - h \cdot A \cdot t \quad (40)$$

Zamana ( $t$ ) karşı  $-\ln \frac{T - T_a}{T_1 - T_a}$  grafiği çizildiğinde sıfır noktasından geçen doğrunun (Ek. 1., 2. ve 3.) eğimi denklem (40)'a göre;

$$m = \frac{h \cdot A}{M \cdot c_p} \quad (41)$$

olmaktadır. Buradan ısı aktarım katsayısı ( $h$ ) hesaplanabilir. Bu şekilde hesaplanan ısı aktarım katsayıları kullanılarak yapılan donma süresi hesaplamalarında donma süreleri genel olarak düşük bulunmuş ve bu yüzden ısı aktarım katsayısının % 90'i elinerek hesaplamalarda bu yeni değerler kullanılmıştır.

#### 3.2.4. Isıl Özellikler

Kıyma ve patates püresine ait isıl özellikler CLELAND ve EARLE (1984 a) den alınmıştır. Bu isıl özellikler programın ekişi içinde her sıcaklık için kullanılmakta, ara değerler interpolasyonla hesaplanmaktadır.

#### 3.2.5. Eşdeğer çap hesaplanması

Sonlu silindir ve dikdörtgenler prizması şeklindeki cisimler için donma süreleri küreye benzetilerek bulunmuştur. Bu işlem için bir eşdeğer çap tanımlaması gerekmektedir. Eşdeğer çapı bulmak Üzeré ILICALI (1987) tarafından geliştirilen formül kullanılmıştır (denklem (42)).

$$D_{es} = \frac{1}{1+\beta} D_v + \frac{\beta}{1+\beta} D_{sv} \quad (42)$$

Formülde  $D_{\text{es}}$  eşdeğer çapı,  $\beta$  cisim boyutlarının en büyüğünün en küçüğünne oranını,  $D_v$  cisimle aynı hacme sahip kürenin çapını,  $D_{sv}$  cisimle eşit hacim/alan oranına sahip kürenin çapını göstermektedir. Yani;

$$D_v = \left[ V_p \frac{6}{\pi} \right]^{1/3} \quad (43)$$

$$D_{sv} = 6 \frac{V_p}{S_p} \quad (44)$$

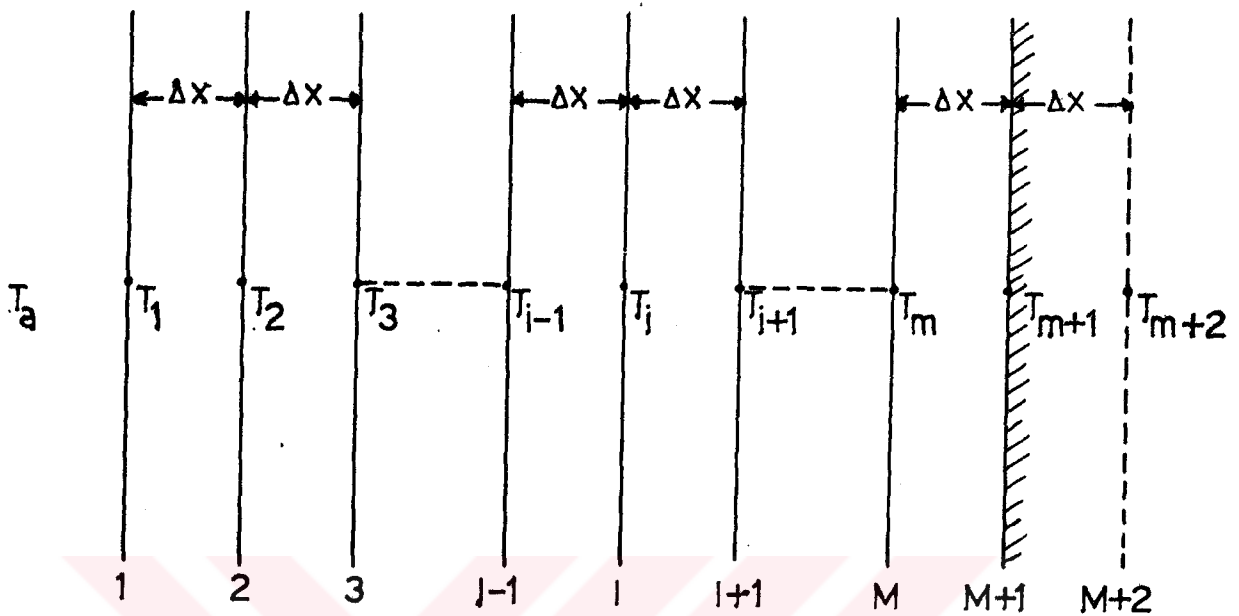
dir.

Burada  $V_p$  cismin hacmi,  $S_p$  cismin alanıdır.

### 3.2.6. Sayısal çözüm yöntemi

Sonlu farklar yönteminin, implicit formunda tridiagonal matrisini oluşturmak için aşağıdaki işlemleri yapılmış ve oluşturulan matris Gauss eliminasyon yöntemiyle çözülmüştür.

M.  $\Delta x$  yarı kalınlığındaki bir sonsuz levha için tridiagonal matrisin oluşturulması şöyledir:



Şekil 8. M.  $\Delta x$  kalınlığında bir sonsuz levhada sıcaklık dağılımı

Şekil 8.'deki ikinci noktası için enerji denkliğini yazacak olursak;

$$\frac{KIP12(2) \cdot A}{\Delta x} (T_{3,n+1} - T_{2,n+1}) - \frac{KIM12(2) \cdot A}{\Delta x} (T_{2,n+1} - T_{1,n+1}) = \\ = \frac{A \cdot \Delta x \cdot CAP(2)}{\Delta t} (T_{2,n+1} - T_{2,n}) \quad (45)$$

Burada KIP12(2) ikinci ve Üçüncü noktalardaki ıslıl iletkenlik katsayılarının ortalamalarını, KIM12(2) birinci ve ikinci noktalardaki ıslıl iletkenlik katsayılarının ortalamalarını göstermektedir. Yani;

$$KIP12(2) = (K(3) + K(2))/2 \quad (46)$$

$$KIM12(2) = (K(2) + K(1))/2 \quad (47)$$

Sıcaklık  $T_{i,n}$  ifadesi ile gösterilmektedir.  $i$  bulunduğu noktayı,  $n$  zaman dilimini göstermektedir.  $CAP(2)$  ikinci noktadaki yoğunlukla özgül ısının çarpımına eşittir (denklem (48)).

$$CAP(2) = \rho(2) \cdot c_p(2) \quad (48)$$

Denklem (45) düzenlendiği taktirde;

$$\begin{aligned} KIP12(2) (T_{3,n+1} - T_{2,n+1}) - KIM12(2) (T_{2,n+1} - T_{1,n+1}) &= \\ &= \frac{\Delta x^2 \cdot CAP(2)}{\Delta t} (T_{2,n+1} - T_{2,n}) \end{aligned} \quad (49)$$

halini alır.

$$\frac{\Delta t}{\Delta x^2} = RATIO \quad (50)$$

$$\gamma = \frac{CAP(2)}{RATIO} \quad (51)$$

yazılıp denklem (45) tekrar düzenlenirse:

$$\begin{aligned} [KIP12(2) + KIM12(2) + \gamma] T_{2,n+1} - KIP12(2) T_{3,n+1} &= \\ &= \gamma T_{2,n} + KIM12(2) T_{1,n+1} \end{aligned} \quad (52)$$

$T_{1,n+1}$  denklem (37)'ye eşittir ve yüzey sınır koşulunu göstermektedir.

Denklem (52)  $2 \leq i \leq M-1$  için düzenlenirse:

$$\begin{aligned} & - KIM12(I) T_{i-1,n+1} + [ KIP12(I) + KIM12(I) + \gamma ] T_{i,n+1} - \\ & - KIP12(I) T_{i+1,n+1} = \gamma T_{i,n} \end{aligned} \quad (53)$$

Denklem (52)  $i=M+1$  için düzenlenirse:

$$\begin{aligned} & [ KIP12(M+1) + KIM12(M+1) + \gamma ] T_{M+1,n+1} - KIP12(M+1) T_{M+2,n+1} = \\ & = \gamma T_{M+1,n} + KIM12(M+1) T_{M,n+1} \end{aligned} \quad (54)$$

$$KIP12(M+1) = KIM12(M+1) = \frac{K(M+1)+K(M)}{2} \quad (55)$$

$$T_{m+2,n+1} = T_{m,n+1} \quad (56)$$

Denklem (55) ve (56) gözönüne alınarak denklem (54) tekrar düzenlenirse:

$$[ 2KIM12(M+1) + \gamma ] T_{M+1,n+1} - 2KIM12(M+1) T_{M,n+1} = \gamma T_{M+1,n} \quad (57)$$

Denklem (53);

$$-KIM12(I) = a_1$$

$$KIP12(I) + KIM12(I) + \gamma = b_1$$

(58)

$$- KIP12(I) = c_1$$

$$\gamma \cdot T_{i,n} = d_1$$

$$\gamma \cdot T_{1,n} + KIM12(2) \cdot T_{1,n+1} = d_1$$

şeklinde sadeleştirilip  $n+1$ 'ler kaldırılırsa, tridiagonal matris;

$$b_1 T_1 + c_1 T_2 + \dots + \dots + \dots + \dots + \dots + \dots = d_1$$

$$a_2 T_1 + b_2 T_2 + c_2 T_3 + \dots + \dots + \dots + \dots = d_2$$

$$a_3 T_2 + b_3 T_3 + c_3 T_4 + \dots + \dots + \dots + \dots = d_3$$

----- (59)

$$a_i T_{i-1} + b_i T_i + c_i T_{i+1} + \dots + \dots + \dots = d_i$$

-----

$$a_{M-1} T_{M-1} + b_{M-1} T_M + c_{M-1} T_M + \dots + \dots = d_m$$

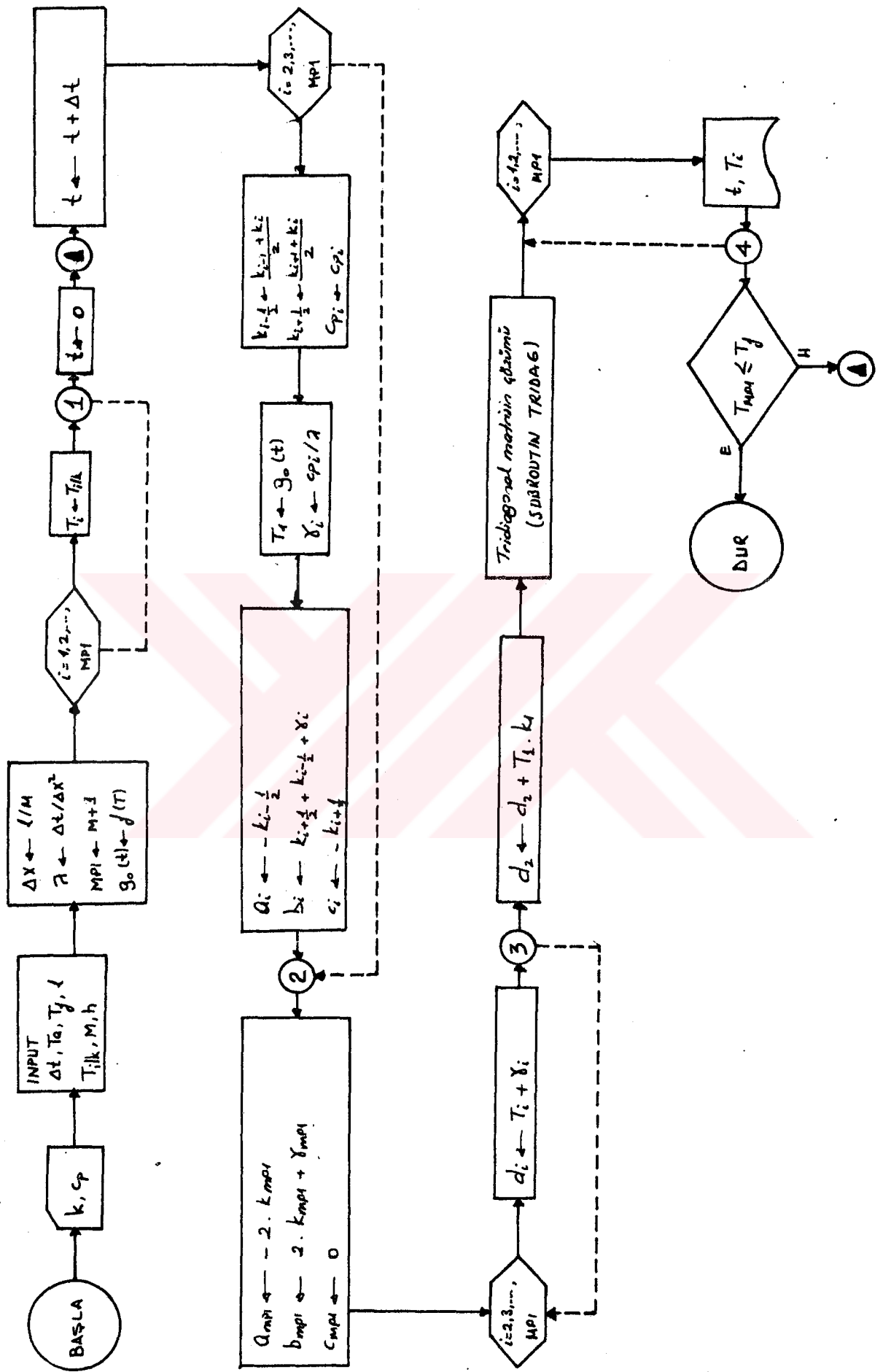
$$a_M T_{M-1} + b_M T_M + \dots + \dots = d_{m+1}$$

şeklinde oluşur.

### 3.2.7. Bilgisayar programlarının oluşturulması

Bilgisayar programı CARNAHAN ve ark. (1969)'daki sabit ıslıl

Özelliklere sahip sonsuz bir levha için geçici rejimde ısı akışını  
denklemi çözümünün alınarak gerekli uyarlamaların (sıcaklıkla değişen  
ısı Özellikler, başlangıç ve sınır koşulları) yapılması ile oluşturul-  
muştur. Programın akış şeması Şekil 9.'da, sonsuz levha, sonsuz silindir  
ve küre için oluşturulan programlar sırasıyla Ek. 4., 5. ve 6.'da veril-  
miştir.



Şekil 9. Bilgisayar programı akış şeması

#### 4. BULGULAR

Farklı geometrik şekillerde dondurulan kıyma ve patates püresinin deneysel ve öngörülen donma süreleri ve bunların karşılaştırılmasına ait bulgular Çizelge 1., 2. ve 3.'de gösterilmiştir. Sonuçların daha iyi irdelenebilmesi için ana grup olarak geometrik şekil, era grup olarak dondurulacak materyal bazında gruplandırma yapılmıştır.

##### 4.1. Dikdörtgenler Prizması Şeklinde Dondurma

Dikdörtgenler prizması şeklinde getirilerek dondurulan patates püresi ve kıymaya ait donma verileri Çizelge 1.'de verilmiştir.

Gizelege 1. Dikdörtgenler prizması şeklindeki patates püresi ve kavunaya eit doma verileri ve üngörulen doma süreleri.

| MATERIAL       | $D_{eş}$<br>(m) | h<br>$W/m^2K$ | $T_1$<br>(°C) | $T_B$<br>(°C) | $t_{den.}$ (s)<br>-10°C | $t_{say.}$ (s)<br>-10°C | $t_{den.}$ (s)<br>-18°C | $t_{say.}$ (s)<br>-18°C | % E   |
|----------------|-----------------|---------------|---------------|---------------|-------------------------|-------------------------|-------------------------|-------------------------|-------|
|                |                 |               |               |               |                         |                         |                         |                         |       |
| KİYMALAR       | 0.04            | 57.0          | 24.2          | -23.6         | 1913                    | 1996                    | +4.3                    | 2232                    | +1.6  |
|                | "               | "             | 23.8          | -29.0         | 1715                    | 1649                    | -3.9                    | 1882                    | -6.6  |
|                | "               | "             | 24.6          | -34.7         | 1485                    | 1407                    | -5.3                    | 1638                    | -11.0 |
|                | "               | 63.1          | 23.0          | -24.3         | 1683                    | 1803                    | +7.1                    | 1880                    | +7.0  |
|                | "               | "             | 23.2          | -27.7         | 1567                    | 1601                    | +2.2                    | 1729                    | -0.8  |
|                | "               | "             | 25.0          | -34.5         | 1221                    | 1338                    | +9.6                    | 1315                    | +4.6  |
|                | "               | 67.4          | 22.0          | -23.6         | 1548                    | 1776                    | +14.7                   | 1880                    | +6.0  |
|                | "               | "             | 26.6          | -27.0         | 1470                    | 1615                    | +9.9                    | 1740                    | -0.5  |
| PATATES PÜRESİ | 0.04            | 57.0          | 26.0          | -24.5         | 2175                    | 2004                    | -7.9                    | 2420                    | -9.1  |
|                | "               | "             | 23.4          | -28.4         | 1856                    | 1698                    | -8.5                    | 2020                    | -10.9 |
|                | "               | "             | 26.6          | -33.4         | 1687                    | 1519                    | -10.0                   | 1791                    | -12.7 |
|                | "               | 63.1          | 26.6          | -24.7         | 1807                    | 1848                    | +2.3                    | 2021                    | -0.5  |
|                | "               | "             | 23.6          | -28.5         | 1453                    | 1600                    | +10.1                   | 1577                    | +6.7  |
|                | "               | "             | 27.2          | -34.7         | 1461                    | 1364                    | -6.6                    | 1552                    | -10.0 |
|                | "               | 67.4          | 27.2          | -24.1         | 1824                    | 1814                    | -0.6                    | 2066                    | -4.4  |
|                | "               | "             | 23.2          | -28.3         | 1360                    | 1537                    | +13.0                   | 1630                    | -1.1  |
| KAVUN          | "               | "             | 18.8          | -28.6         | 1337                    | 1476                    | +10.4                   | 1526                    | +1.4  |
|                | "               | "             | 27.2          | -32.6         | 1290                    | 1383                    | +7.2                    | 1429                    | -0.7  |

$t_{den.}$  : Deneysel doma süresi

$t_{say.}$  : Üngörulen doma süresi

% E : Hata yüzdesi

#### 4.2. Sonlu Silindir Şeklinde Dondurulma

Sonlu silindir şecline getirilerek dondurulan patates püresi ve kıymaya ait donma verileri Çizelge 2.'de verilmiştir.

**Cizelge 2.** Sonlu silindir şeklindeki patates püresi ve kıymaya ait donma verileri ve öngörülən donma süreleri.

| MATERIAL       | D <sub>eq</sub><br>(m) | h<br>W/m <sup>2</sup> K | T <sub>i</sub><br>(°C) | T <sub>a</sub><br>(°C) | t <sub>den.</sub> (s)<br>-10°C | t <sub>say.</sub> (s)<br>-10°C | % E   | t <sub>den.</sub> (s)<br>-18°C | t <sub>say.</sub> (s)<br>-18°C | % E  |
|----------------|------------------------|-------------------------|------------------------|------------------------|--------------------------------|--------------------------------|-------|--------------------------------|--------------------------------|------|
| KİVMA          | 0.0535                 | 58.7                    | 24.6                   | -23.8                  | 2622                           | 2924                           | +11.5 | 2970                           | 3259                           | +8.7 |
|                | "                      | "                       | 26.6                   | -29.2                  | 2382                           | 2433                           | +2.1  | 2574                           | 2541                           | -1.3 |
|                | "                      | 78.8                    | 24.0                   | -24.6                  | 2199                           | 2394                           | +8.9  | 2445                           | 2568                           | +5.0 |
|                | "                      | "                       | 24.4                   | -28.2                  | 1940                           | 2124                           | +9.5  | 2086                           | 2208                           | +5.8 |
| PATATES PÜRESİ | 0.0535                 | 58.7                    | 23.8                   | -24.4                  | 2684                           | 2856                           | +6.4  | 2970                           | 3069                           | +3.3 |
|                | "                      | "                       | 22.6                   | -28.0                  | 2284                           | 2502                           | +9.5  | 2475                           | 2608                           | +5.4 |
|                | "                      | 78.8                    | 23.0                   | -24.4                  | 2307                           | 2378                           | +3.1  | 2505                           | 2515                           | +0.4 |
|                | "                      | "                       | 22.6                   | -28.9                  | 1990                           | 2000                           | +0.5  | 2095                           | 2052                           | -2.1 |

t<sub>den.</sub> : Deneysel donma süresi

t<sub>say.</sub> : Öngörülen donma süresi

% E : Hata yüzdesi

#### 4.3. Küre Şeklinde Dondurulma

Küre şekline getirilerek dondurulan patates püresi ve kıymaya ait donna verileri Çizelge 3.'de verilmiştir.

Çizelge 3. Küre şeklindeki patates püresi ve kıymaya ait donma verileri ve öngörülen donma süreleri

| MATERIAL | $D_{eq}$<br>(m)   | $h$<br>W/m <sup>2</sup> K | $T_1$<br>(°C) | $T_a$<br>(°C) | $t_{den.}$ (s)<br>-10°C | $t_{say.}$ (s)<br>-10°C | % E  | $t_{den.}$ (s)<br>-18°C | $t_{say.}$ (s)<br>-18°C | % E |
|----------|-------------------|---------------------------|---------------|---------------|-------------------------|-------------------------|------|-------------------------|-------------------------|-----|
| 0.061    | 76.5 <sup>n</sup> | 7.0                       | -20.3         | 3216          | 3157                    | -1.8                    | 3750 | 3762                    | +0.3                    |     |
| 0.058    | 76.5 <sup>n</sup> | 3.2                       | -26.7         | 2136          | 2145                    | +0.4                    | 2340 | 2270                    | -3.0                    |     |

|       |                   |      |       |      |      |      |      |      |      |
|-------|-------------------|------|-------|------|------|------|------|------|------|
| 0.058 | 76.5 <sup>n</sup> | 31.8 | -20.3 | 3353 | 3364 | +0.3 | 3750 | 3811 | +1.6 |
|       |                   | 6.0  | -27.6 | 2164 | 2134 | -1.4 | 2322 | 2206 | -5.0 |

$t_{den.}$  : Deneysel donma süresi

$t_{say.}$  : Öngörülen donma süresi

% E : Hata yüzdesi

Öngörülen donma sürelerinin ortalama hataların ( $\bar{x}$ ) ve standart sapmaları ( $\sigma_{n-1}$ ) Çizelge 4.'de verilmiştir.

Çizelge 4. Öngörülen donma sürelerinin ortalama hataları ve standart sapmaları

| Materiyal  | Şekil                  | - 10°C için |                | -18°C için |                |
|------------|------------------------|-------------|----------------|------------|----------------|
|            |                        | $\bar{x}$   | $\sigma_{n-1}$ | $\bar{x}$  | $\sigma_{n-1}$ |
| 9 Kıyma    | Dikdörtgenler prizması | +5.2        | 6.6            | +0.1       | 5.9            |
| 10 Patates | Dikdörtgenler prizması | +0.9        | 8.9            | -4.1       | 6.3            |
| 4 Kıyma    | Sonlu silindir         | +8.0        | 4.1            | +4.6       | 4.2            |
| 4 Patates  | Sonlu silindir         | +4.9        | 3.9            | +1.8       | 3.3            |
| 2 Kıyma    | Küre                   | -0.7        | 1.6            | -1.4       | 2.3            |
| 2 Patates  | Küre                   | -0.6        | 1.2            | -1.7       | 4.7            |

Oluşturulan bilgisayar programları CLELAND ve EARLE (1977, 1979 a,b), HUNG ve THOMPSON (1983) ve MICHELIS ve CALVELO (1983)'deki çeşitli materaller için donma verileri ile geliştirilmiş ve bulunan sonuçlar Çizelge 5.'de verilmiştir.

Çizelge 5. Literatürden alınan donma verilerinin değerlendirilmesi

| VERİ KAYNAĞI                        | $\bar{x}$ | n-1  | son sıcaklık<br>(°C) |
|-------------------------------------|-----------|------|----------------------|
| CLELAND ve EARLE (1977)             |           |      |                      |
| 43 Tylose sonsuz levha              | +2.2      | 5.0  | -10.                 |
| 6 Patates sonsuz levha              | -1.5      | 2.9  | -10.                 |
| 6 Yağsız et sonsuz levha            | +0.2      | 5.3  | -10.                 |
| CLELAND ve EARLE (1979 a)           |           |      |                      |
| 72 Tylose dikdörtgenler prizması    | -6.7      | 5.4  | -10.                 |
| CLELAND ve EARLE (1979 b)           |           |      |                      |
| 30 Tylose sonsuz silindir           | -6.2      | 4.6  | -10.                 |
| 30 Tylose küre                      | -6.0      | 4.3  | -10.                 |
| MICHELIS ve CALVELO (1983)          |           |      |                      |
| 17 Yağsız et dikdörtgenler prizması | +1.6      | 8.3  | -10.                 |
| 2 Yağsız et dikdörtgenler prizması  | -4.5      | 0.9  | -18.                 |
| 4 Yağsız et sonlu silindir          | +3.9      | 8.3  | -18.                 |
| 5 Yağsız et sonsuz levha            | +0.4      | 7.0  | -18                  |
| HUNG ve THOMPSON (1983)             |           |      |                      |
| 23 Tylose sonsuz levha              | -2.6      | 8.2  | -18.                 |
| 9 Patates sonsuz levha              | -3.9      | 10.0 | -18.                 |
| 9 Kıyma sonsuz levha                | +4.5      | 4.5  | -18.                 |
| 9 Yağsız et sonsuz levha            | +3.2      | 12.5 | -18                  |

Hesaplamalarda kullanılan ısı aktarım katsayılarını bulmak üzere çizilen soğuma eğrileri dikdörtgenler prizması(Uç konumda), sonlu silindir (iki konumda) ve küre için sırasıyla, Ek. 1., 2. ve 3.'te verilmiştir.

## 5. TARTIŞMA

Oluşturulan bilgisayar programlarının CLELAND ve EARLE (1977), CLELAND ve EARLE (1979 a,b), MICHELIS ve CALVELD (1983), HUNG ve THOMPSON (1983)'deki çeşitli materyallere ait donma verilerini kullanarak çalıştırılması ile bulunan değerlerin CLELAND ve EARLE (1984 a)'da aynı yöntem (sonlu farklar yöntemi) ve donma verileri kullanılarak bulunan değerlerle uyum içinde olduğu gözlenmiştir (Çizelge 6.).

**Çizelge 6.** CLELAND ve EARLE (1984 a)'daki sonlu farklar yöntemi sonuçlarının bu çalışmadağı yöntem sonuçları ile karşılaştırılması.

#### VERİ KAYNAĞI

##### SONLU FARKLAR YÖNTEMİ (CLELAND ve EARLE 1984 a)

##### BU ÇALIŞMA

|   | x    | $\sigma_{n-1}$ | x    | $\sigma_{n-1}$ |
|---|------|----------------|------|----------------|
| CLELAND ve EARLE (1977)                             |      |                |      |                |
| 43 Tylose sonsuz levha                              | 0.0  | 5.3            | +2.2 | 5.0            |
| 6 Patates sonsuz levha                              | -0.5 | 5.1            | -1.5 | 2.9            |
| 6 Yağsız et sonsuz levha                            | +4.8 | 4.7            | +0.2 | 5.3            |
| CLELAND ve EARLE (1979 a)                           |      |                |      |                |
| 72 Tylose dikdörtgenler prizması                    | -3.8 | 5.8            | -6.7 | 5.4            |
| CLELAND ve EARLE (1979 b)                           |      |                |      |                |
| 30 Tylose sonsuz silindir                           | -1.8 | 5.2            | -6.0 | 4.6            |
| 30 Tylose küre                                      | -0.3 | 3.3            | -6.2 | 4.3            |
| MICHELIS ve CALVELO (1983)                          |      |                |      |                |
| 5 Yağsız et sonsuz levha                            | -0.1 | 7.4            | +0.4 | 7.0            |
| 23 Yağsız et dikdörtgenler prizması, sonlu silindir | +8.6 | 6.3            | +1.5 | 8.0            |
| HUNG ve THOMPSON (1983)                             |      |                |      |                |
| 23 Tylose sonsuz levha                              | -1.3 | 8.7            | -2.6 | 8.2            |
| 9 Patates sonsuz levha                              | -3.9 | 4.9            | -3.9 | 10.0           |
| 9 Kılıma sonsuz levha                               | +6.6 | 16.6           | +4.5 | 4.5            |
| 9 Yağsız et sonsuz levha                            | +2.8 | 11.6           | +3.2 | 12.5           |

Sonlu silindir ve dikdörtgenler prizması şeklindeki cisimler için donma süresini bulurken bu cisimler küreye benzetilerek çözülmüştür. Bu benzetme eşdeğer çap formülü (denklem (42)) kullanılarak yapılmıştır. Çizelge 1., 2. ve 5.'de görülebileceği gibi deneysel ve öngörülen sürelerin uyumluluğu eşdeğer çap formülünün kullanılabilir olduğunu göstermektedir.

Bilgisayar programları çalıştırılırken yaklaşık 1000 işlem yapması amaçlanmıştır. İşlem adedinin arttırılması daha iyi sonuç vermesine rağmen 1000 işlemden daha fazlasının zaman kaybı olduğu, sonucu fazla etkilemediği gözlenmiştir. Ancak sınır şartının explicit yazılması, buna karşılık sonlu farklar denklemlerinin implicit yönteme çözümü denklem (60)'ın sağlanması gerekmektedir.

$$M \geq N+1 \quad (60)$$

Burada;

$$M = \frac{(\Delta x)^2}{\frac{k}{\rho c_p} \Delta t} \quad (61)$$

$$N = \frac{\hbar \Delta x}{k}$$

dır.

Yüksek ısı aktarım katsayıısı değerlerinde sağlanan bu denklem düşük ısı aktarım katsayıısı ve küçük  $\Delta x$  'lerde sağlanmamaktadır. Bunu sağlamak üzere  $\Delta t$  değerinin küçültülmesi ve dolayısıyla 1000'den fazla ( $\approx 4000$ ) işlem yapmak gerekmektedir. Bu problemle karşılaşduğumuz HUNG ve THOMPSON (1983)'de  $\Delta t$ 'yi küçülterek sonuç bulmamıza karşın, HAYAKAWA ve ark. (1983)'deki 6 Tylose sonlu silindir için başarılı olunamamış, sonuçlar % 45 civarında (+) hatalı bulunmuştur. HAYAKAWA ve ark.(1983)'deki veriler iki değişik koşulda üçer deneme sonuçlarını içermektedir. Hatanın oluşturulan modelden gelip gelmediğini araştırmak için HAYAKAWA ve ark. (1983)'deki veriler CLELAND ve EARLE (1984 b) ve PHAM (1986)'daki analitik yöntemlerle çözülmüştür. Sonuçlar veri setinin birinde ortalama % 55, diğerinde ise ortalama % 105 hatalı çıkmıştır. PHAM (1986)'da veri setlerinin biri için % -9 ile % + 15 arasında değişen sonuçlar bulunduğu yazılıyorsa da bu sonuçların çap yerine yarıçap değerlerinin alınması ile bulunduğu septenmiştir. PHAM (1986), ikinci veri seti için hata nedenlerini, deney koşullarının ve materyal özelliklerinin belinmesindeki hatalar ve eşdeğer ısı aktarım boyutunun bulunduğu ifadedeki hatalardan kaynaklanabileceği şeklinde yorumlamaktadır.

Bu çalışmada yapılan denemelerin CLELAND ve EARLE (1984 b) ve PHAM (1986)'daki yöntemlerle analitik çözüm sonuçları Çizelge 7.'de verilmiştir. Sonuçlardan da görüldüğü gibi analitik yöntemler yaklaşık sonuç vermelerine rağmen sonlu farklar yöntemine göre daha fazla hatalıdır. Bunun nedeni yöntemlerin az sayıda deneye dayandırılmasıdır.

**Çizelge 7.** Bu çalışmada yapılan denemelerin analitik yöntemlerle değerlendirilmesi.

| MATERIAL ve ŞEKİL                 | PHAM (1986) |                |           |                | CLELAND ve EARLE (1984 b) |                |           |                | BU ÇALIŞMA |                |           |                |
|-----------------------------------|-------------|----------------|-----------|----------------|---------------------------|----------------|-----------|----------------|------------|----------------|-----------|----------------|
|                                   | $\bar{x}$   | $\sigma_{n-1}$ | $\bar{x}$ | $\sigma_{n-1}$ | $\bar{x}$                 | $\sigma_{n-1}$ | $\bar{x}$ | $\sigma_{n-1}$ | $\bar{x}$  | $\sigma_{n-1}$ | $\bar{x}$ | $\sigma_{n-1}$ |
| 9 Küyma dikdörtgenler prizması    | +7.0        | 6.5            | +7.7      | 6.9            | +14.2                     | 6.9            | +18.0     | 6.4            | +5.2       | 6.6            | +0.1      | 5.9            |
| 10 Patates dikdörtgenler prizması | +12.7       | 9.5            | +14.6     | 7.8            | +16.4                     | 9.9            | +15.1     | 7.6            | +0.9       | 8.9            | -4.1      | 6.3            |
| 4 Küyma sonlu silindir            | +7.5        | 3.9            | +12.6     | 3.1            | +17.2                     | 3.6            | +25.5     | 3.9            | +8.0       | 4.1            | +4.6      | 4.2            |
| 4 Patates sonlu silindir          | +14.7       | 4.9            | +21.3     | 3.8            | +20.2                     | 4.2            | +23.2     | 2.9            | +4.9       | 3.9            | +1.8      | 3.3            |
| 2 Küyma küre                      | +1.1        | 1.3            | +4.7      | 4.1            | +6.8                      | 2.8            | +16.5     | 0.1            | -0.7       | 1.6            | -1.4      | 2.3            |
| 2 Patates küre                    | +7.4        | 0.1            | +16.9     | 1.4            | +14.4                     | 0.7            | +19.1     | 3.3            | -0.6       | 1.2            | -1.7      | 4.7            |

Dondurulma işlemi sırasında materyalde meydana gelen ıslı genleşmeden dolayı hacim artışı ve yüzeyde buz oluşumu, ısı aktarım katsayısını düşürerek, ısı aktarımını olumsuz yönde etkilemektedir. Isı aktarım katsayısını bulmakta kullanılan alüminyum bloklarda böyle bir şey sözkonusu olmadığı için Ek. 1., 2. ve 3.'ten bulunan ısı aktarım katsayılarının % 90'ı alınarak kullanılmıştır.

Veri almak için kullanılan isileşlerin dondurulacak materyal içine yerleştirilmeleri sırasında soğuk noktadan sapmaları hataya neden olacağından isileşlerin yerleştirilmesine aşırı özen gösterilmiştir. Hatalı yerleşimin belirgin olarak fark edildiği denemelerde bu deneyler iptal edilmiş ve yenilenmiştir.

Isı aktarım katsayısını bulmak için soğuma verileri alınırken alüminyum blokların dondurucu içine yerleştirildikleri yer ve konumları kesin olarak belirlenerek dondurulma işlemi sırasında dondurulacak materyaller aynı yer ve konumlara yerleştirilmişlerdir.

Kullanılan dondurucuda ortam sıcaklığının  $\pm 1.5^{\circ}\text{C}$  oynaması yaptığı belirlenmiştir. Bu oynamanın etkisini arastırmak üzere ortam sıcaklığının sinusoidal değiştigini varsayıarak ortam sıcaklığı program içinde zamanın fonksiyonu olarak tanımlanmıştır. Bunun sonucunda ortam sıcaklığındaki oynamanın öngörülen donma süresi Üzerinde belirgin bir etkisi olmadığı, ortalama bir sıcaklığın kullanılabileceği belirlenmiştir.

Oluşturulan model soğuma Biot sayısının 0.08 - 39.42 değerleri arasında test edilmiştir. Ortam sıcaklıklar  $-14.7^{\circ}\text{C}$  ile  $-45.1^{\circ}\text{C}$  arasında, karakteristik uzunluk 0.010 m ile 0.1850 m arasında değişmektedir.

## 6. SONUÇ

Bu çalışmada çeşitli materyal ve geometrik şekiller için bulunan deneysel donma süreleri ile öngörülen donma süreleri arasında  $-10^{\circ}\text{C}$  için % -10. ile % +14.7,  $-18^{\circ}\text{C}$  için % -12.7 ile % +8.7 arasında değişen değerler bulunmuştur. Bu değerler her materyal ve geometrik şekil için Çizelge 8.'de gösterilmiştir.

**Çizelge 8. Deneysel ve öngörülen donma süreleri arasındaki maksimum ve minimum hatalar**

| MATERIAL | ŞEKLİ                  | $-10^{\circ}\text{C}$ |       | $-18^{\circ}\text{C}$ |       |
|----------|------------------------|-----------------------|-------|-----------------------|-------|
|          |                        | maks %                | min % | maks %                | min % |
| Kıyma    | dikdörtgenler prizması | +14.7                 | -5.3  | +7.0                  | -11.0 |
| Patates  | dikdörtgenler prizması | +13.0                 | -10.0 | +6.7                  | -12.7 |
| Kıyma    | sonlu silindir         | +11.5                 | +2.1  | +8.7                  | -1.3  |
| Patates  | sonlu silindir         | +9.3                  | +0.5  | +5.4                  | -2.1  |

Çeşitli yaynlarda bulunan donma verilerinin değerlendirilmesi sonunda geometrik şekillere göre bulunan ortalaması değerler Çizelge 9.'da gösterilmiştir.

Çizelge 9. Çeşitli yayılardaki geometrik şekillere göre bulunan  
ortalama değerler

| ŞEKİL                  | Ortalama % hata |
|------------------------|-----------------|
| Sonsuz levha           | +0.75           |
| Sonsuz silindir        | -6.2            |
| Dikdörtgenler prizması | -4.8            |
| Sonlu silindir         | +4.6            |
| Küre                   | -6.2            |

Çizelge 9.'da da görüldüğü gibi oluşturulan model donma zamanının öngörülmesi için uygundur. Dikdörtgenler prizması ve sonlu silindir için geliştirilen eşdeğer çap formülünün kullanılabilir olduğu bulunmuştur.

## ÖZET

Bu çalışmada basit geometrik şekle sahip sonsuz levha, sonsuz silindir ve küre şeklindeki gıda maddelerinin donma sürelerini sonlu farklı yöntem ile hesaplayabilmek için bilgisayar programları oluşturmak ve değişik ısı aktarım katsayısı, şekil ve gıda maddeleri ile yapılan deneme sonuçları ve literatürden alınan donma verileri ile bilgisayar program sonuçlarını karşılaştırmak amaçlanmıştır.

Basit geometrik şekle sahip gıda maddelerinin değişik koşullerde dondurulma sürelerini öngörebilmek için bilgisayar programları oluşturulmuş ve oluşturulan bilgisayar programları literatürden alınan Tylose (% 23 CMC, % 77 Su), patates püresi, yağsız et ve kıyma için donma verileri ile çalıştırılarak, literatürdeki deneysel donma süreleri, sonsuz levha için % +0.75, sonsuz silindir için % -6.2 ve küre için % -6.2'lik ortalama hata ile hesaplanmıştır.

Bilgisayar programları sonlu silindir ve dikdörtgenler prizması şeklindeki gıda maddeleri için kullanılamadığından, geliştirilen bir eşdeğer çap formülü ile bu şekilde sahip gıda maddeleri küreye benzetilerek, küre için hazırlanan program kullanılmak suretiyle donma süreleri bulunmuştur. Geliştirilen eşdeğer çap formülünün geçerliliğini araştırmak için patates püresi ve kıymaya sonlu silindir ve dikdörtgenler prizması şekli verilerek ısı merkezleri  $-18^{\circ}\text{C}$ 'a gelinceye kadar bir hava akımlı dondurucuda dondurulmuşlardır. Hesaplamalarda kullanılan ısı aktarım katsayıları gıda maddeleri ile aynı boyutlara sahip alüminyum blokların soğuma eğrilerinden hesaplanmıştır. Alüminyum bloklar dondurucuya değişik konumlarda

yerleştirilerek değişik ısı aktarım katayıları elde edilmiştir.

Yapılan denemelerde bulunan deneysel donma süreleri ve bilgisayar programı ile öngörülen donma süreleri karşılaştırıldığında  $-10^{\circ}\text{C}$  için % -10. ile % +14.7,  $-18^{\circ}\text{C}$  için % -12.7 ile % +8.7 arasında değişen hatalar bulunmaktadır. Literatürden alınan donma verileri de değerlendirildiğinde dikdörtgenler prizması için % -4.8, sonlu silindir için % +4.6 ortalama hata değerleri bulunmaktadır.

Sonsuz levha, sonsuz silindir ve küre için hazırlanan bilgisayar programlarının yeterli hassasiyette sonuç verdiği ve bu şekillere sahip materyallerin donma sürelerinin öngörülmesinde kullanılabilir olduğu bulunmuştur. Sonlu silindir ve dikdörtgenler prizması şeklindeki materyaller için geliştirilen eşdeğer çap kavramının da geçerli olduğu belirlenmiştir.

W. C.  
Yükseköğretim Kurulu  
Dokümleri

## SUMMARY

The object of this study was to establish the computer programmes for calculating the freezing times of the materials with simple geometrical shapes and comparing the numerical predictions with experimental freezing time data.

For calculating the freezing times of materials in simple geometrical shapes, computer programmes employing a finite difference technique were prepared and these programmes were run using freezing data for Tylose (23 % CMC, 77 % Water), mashed potato, lean beef and ground beef, experimental freezing data obtained from the literature were predicted with mean errors + 0.7 % for infinite slabs, -6.2 % for infinite cylinders and -6.2 % for spheres.

The freezing times of finitely cylindrical or brick-shaped foods were computed by utilizing an equivalent diameter. The equivalent diameter used is based on the diameter of the sphere equivalent of the finitely cylindrical or brick-shaped food. In order to check the equivalent diameter concept, mashed potato and ground beef in finitely cylindrical and brick-shape form were frozen in an air blast freezer until their thermal center reached  $-18^{\circ}\text{C}$ . The heat transfer coefficient used in the calculations were calculated from the cooling curves of aluminium blocks located at the position of the test object in the freezer. The positions of the aluminium blocks were changed to obtain different heat transfer coefficients.

The errors between the experimental and predicted freezing times were in the range of the final center temperature of -10 % to + 14.7 %

for  $-10^{\circ}\text{C}$ ,  $-12.7\%$  to  $+8.7\%$  for  $18^{\circ}\text{C}$ .

The mean errors between freezing time data from literature and predicted times were  $-4.8\%$  for brick-shaped, and  $+4.6\%$  for finitely cylindrical shaped materials.

It was observed that the established computer programmes can be used for freezing time predictions of infinitely slab and cylinder and sphere shaped foods. The equivalent diameter used for the finitely cylindrical and brick-shaped foods seemed to be a valid formulation.

## LITERATÜR LİSTESİ

- ARKUN, M.E ve GÜNGÖR, I., 1977, Fundamentals of Programming and FORTRAN IV,  
Middle East Technical University Dept. of Computer Sci., Publication  
No: 3, Ayyıldız Matbaası A.Ş., Ankara
- BAKAL, A. ve HAYAKAWA, K.I., 1970, Heat Conduction in an Infinite Slab  
During Freezing or Defrosting When the Phase Change Occurs in a  
Range of Temperature. I. Initial Freezing or Thawing Period,  
Presented at the Anniversary Meeting of the Inst. Food Technologists  
San Francisco, C.A., Alınmıştır: "RAMASWAMY ve TUNG (1984)."
- BONANICA, A.C. ve Ark., 1973, Numerical Solution of Phase-Change Problems,  
Int. J. of Heat Mass Transfer., 16, 1825, Alınmıştır: RAMASWAMY  
ve TUNG (1984).
- CARNAHAN, B. ve ark., 1969, Applied Numerical Methods, John Wiley & Sons,  
Inc., USA
- CEMEROĞLU, B. ve ACAR, J., 1986, Meyve ve Sebze İşleme Teknolojisi, Gıda  
Teknolojisi Derneği, Yayın No:6, Sanem Matbaası, Ankara
- CHARM, S.E., 1978, Fundamentals of Food Engineering, Second Edition, AVI  
Publishing Co., Westport, CT.
- CLELAND, A.C. ve EARLE, R.L., 1977, A Comparison of Analytical and Numerical  
Methods for Predicting Freezing Times of Foods, J. of Food Sci.,  
42, 1390.
- CLELAND, A.C. ve EARLE, R.L., 1979 a, Predicting Freezing Times of Foods  
in Rectangular Packages, J. of Food Sci., 44, 964.

CLELAND, A.C. ve EARLE, R.L., 1979 b, A Comparison of Methods for Predicting the Freezing Times of Cylindrical and Spherical Foodstuffs, J. of Food Sci., 44, 958.

CLELAND, A.C. ve EARLE, R.L., 1982, A Simple Method for Predicting Heating and Cooling in Solids of Various Shapes, Int. J. of Refrigeration, 5(2), 98, Alınmıştır: RAMASWAMY ve TUNG (1984).

CLELAND, A.C. ve EARLE, R.L., 1984 a, Assessment of Freezing Time Prediction Methods, J. of Food Sci., 49(4), 1034.

CLELAND, A.C. ve EARLE, R.L., 1984 b, Freezing Time Predictions for Different Final Product Temperatures, J. Food Sci., 49(4), 1230.

COWEL, N.D., 1967, The Calculation of Freezing Time, Proc. XII. Int. Congr. Refrigeration, 2, 667, Alınmıştır: RAMASWAMY ve TUNG (1984).

EDE, A.J., 1949, The Calculation of Freezing and Thawing of Foodstuffs, Modern Refrigeration, 52, 52, Alınmıştır: RAMASWAMY ve TUNG (1984).

FLEMING, A.K., 1971, The Numerical Calculation of Freezing Processes, Proc. XIII. Int. Congr. Refrigeration, 2, 219, Alınmıştır: RAMASWAMY ve TUNG (1984).

HAYAKAWA, K.I., 1977, Estimation of Heat Transfer During Freezing or Defrosting of Foods, IIR. Commissions C1, C2., Karlsruhe, 293, Alınmıştır: RAMASWAMY ve TUNG (1984).

- HAYAKAWA, K.I. ve ark., 1983, Two Dimensional Heat Conduction in Food Undergoing Freezing: Predicting Freezing Time of Rectangular or Finitely Cylindrical Food, J. of Food Sci., 48, 1841.
- HELDMAN, D.R., 1974, Computer Simulation of Food Freezing Processes, Proc. VI. Int. Congr. Food Sci. and Tech. IV., 397, Alınmıştır: RAMASWAMY ve TUNG (1984).
- HELDMAN, D.R. ve GORBY, D.P., 1975, Computer Simulation of Individual Quick Freezing of Foods, ASAE Paper No: 75-6016, Alınmıştır: RAMASWAMY ve TUNG (1984).
- HELDMAN, D.R., 1982, Food Properties During Freezing, Food Tech., 36(2), 92.
- HELDMAN, D.R., 1983, Factor Influencing Food Freezing Rates, Food Tech., 37(4), 103.
- HOHNER, G.A. ve HELDMAN, D.R., 1970, Computer Simulation of Freezing Rates in Foods, Presented at the Ann. Meeting of the Inst. of Food Technologists, San Francisco, C.A. Alınmıştır: RAMASWAMY ve TUNG (1984).
- HUNG, Y.C. ve THOMPSON, D.R., 1983, Freezing Time Prediction for Slab Shape Foodstuffs by an Improved Analytical Methods; J. of Food Sci., 48, 555.
- IIR, 1972, Recomandations for the Processing and Handling of Frozen Foods, Second Edition, Paris
- ILICALI, C., 1987, Özel Görüşme, Ege Üniversitesi Mühendislik Fakültesi Bida Mühendisliği Bölümü, İzmir

- ILICALI, C. ve SAĞLAM, N., 1987, A Simplified Analytical Model for Freezing Time Calculation in Foods, J. of Food Proc. Eng., 9, 299.
- LEVY, F.L., 1958, Calculating Freezing Time of Fish in Air Blast Freezers, J. of Refrigeration, 1, 55, Alınmıştır: RAMASWAMY ve TUNG, (1984).
- LUIKOV, A.V., 1968, Analytical Heat Diffusion Theory, Academic Press., New York, N.Y., Alınmıştır:RAMASWAMY ve TUNG (1984).
- MASCHERONI, R.H. ve CALVELO, A., 1982, A Simplified Model for Freezing Time Calculation in Foods, J. of Food Sci., 47(4), 1201.
- MOTT, L.F., 1964, Prediction of Product Freezing Time, Aus. Refrigeration Air Cond. Heat, 18,16, Alınmıştır: RAMASWAMY ve TUNG (1984).
- NAGOKA, J. ve ark., 1955, Experiments on the Freezing of Fish by the Air Blast Freezer, J. of Tokyo Univ. Fish, 42(1), 65, Alınmıştır: RAMASWAMY ve TUNG (1984).
- PHAM, Q.T., 1984, An Extension to Plank's Equation for Predicting Freezing Times of Foodstuffs of Simple Shapes, Reuve Internasyonale du Froid, 7, 377.
- PHAM, Q.T., 1986, Simplified Equation for Predicting the Freezing Time of Foodstuffs, J. of Food Tech., 21, 209.
- PLANK, R., 1913, The Calculation of Freezing and Thawing of Foodstuffs, Modern Refrigeration, 52, 52, Alınmıştır: RAMASWAMY ve TUNG (1984).
- PLANK, R., 1963, EL Empleo del Frio en la Industria de la Alimentación, Editorial Reverte, Barcelona, Alınmıştır: CLELAND ve EARLE (1979 b).

PURWADARIA, H.K., 1980, A Numerical Prediction Model for Food Freezing Using Finite Elements Methods, Ph. D. Dissertation, Agricultural Engineering Dept. Michigan State Univ., East Lansing, MI., Alınmıştır: RAMASWAMY ve TUNG (1984).

PURWADARIA, H.K. ve HELDMAN, D.R., 1982, A Finite Element Model for Prediction of Freezing Rates in Food Products with Anomalous Shapes, Trans. ASAE, 25(3), 827, Alınmıştır: RAMASWAMY ve TUNG (1984).

RAMASWAMY, H.S., 1979, Thermophysical Properties of Apples and Prediction of Freezing Times, M.Sc.Thesis, Dept. of Food Sci. Univ. of British Columbia, Vancouver, Canada, Alınmıştır: RAMASWAMY ve TUNG (1984).

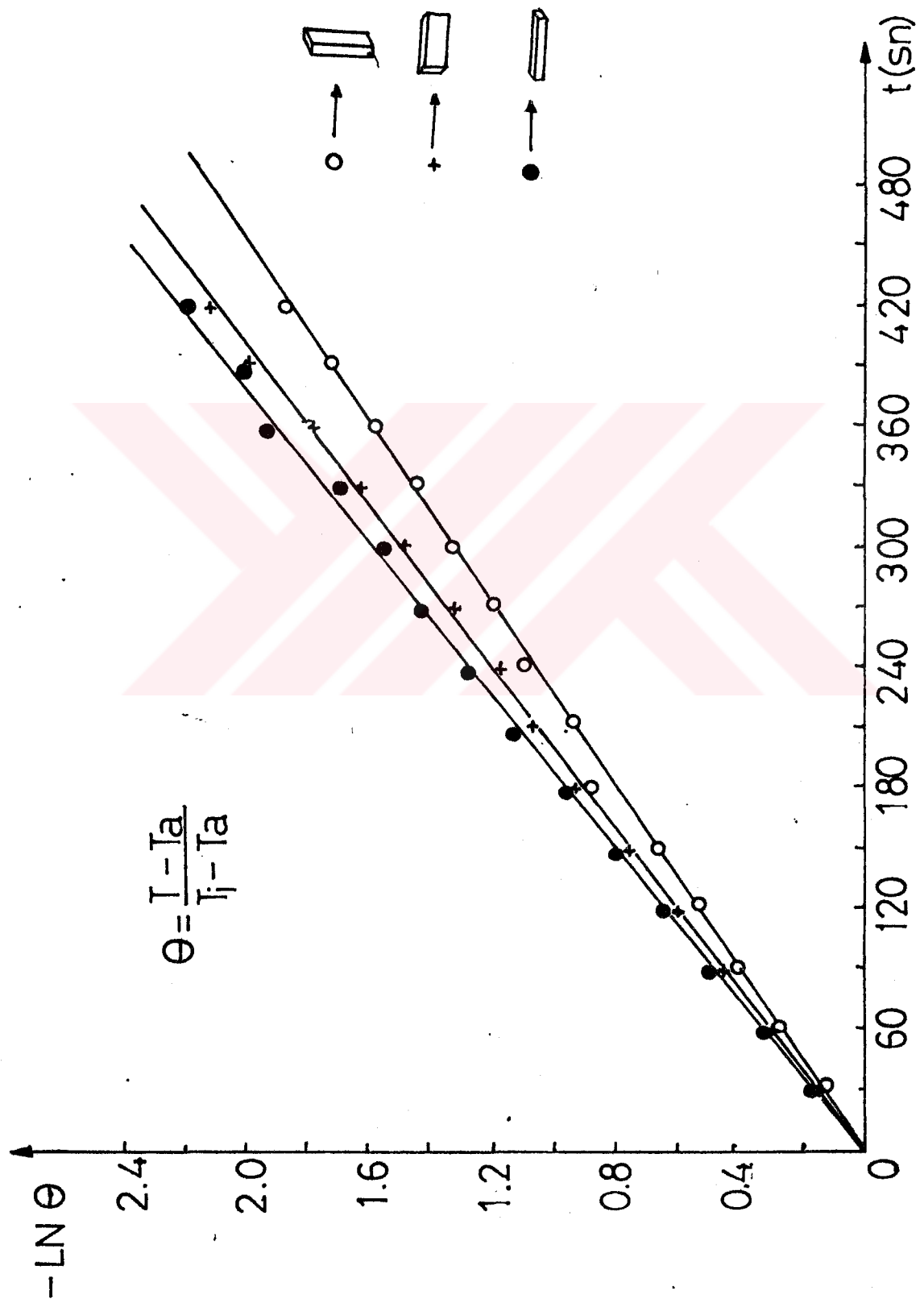
RAMASWAMY, H.S. ve TUNG, M.A., 1984, A Review on Predicting Freezing Times of Foods, J. of Food Proc. Eng., 7, 169.

REBELLATIO, L. ve ark., 1978, Finite Element Analysis of Freezing Processes in Foodstuffs, J. of Food Sci., 43, 239, Alınmıştır: RAMASWAMY ve TUNG (1984).

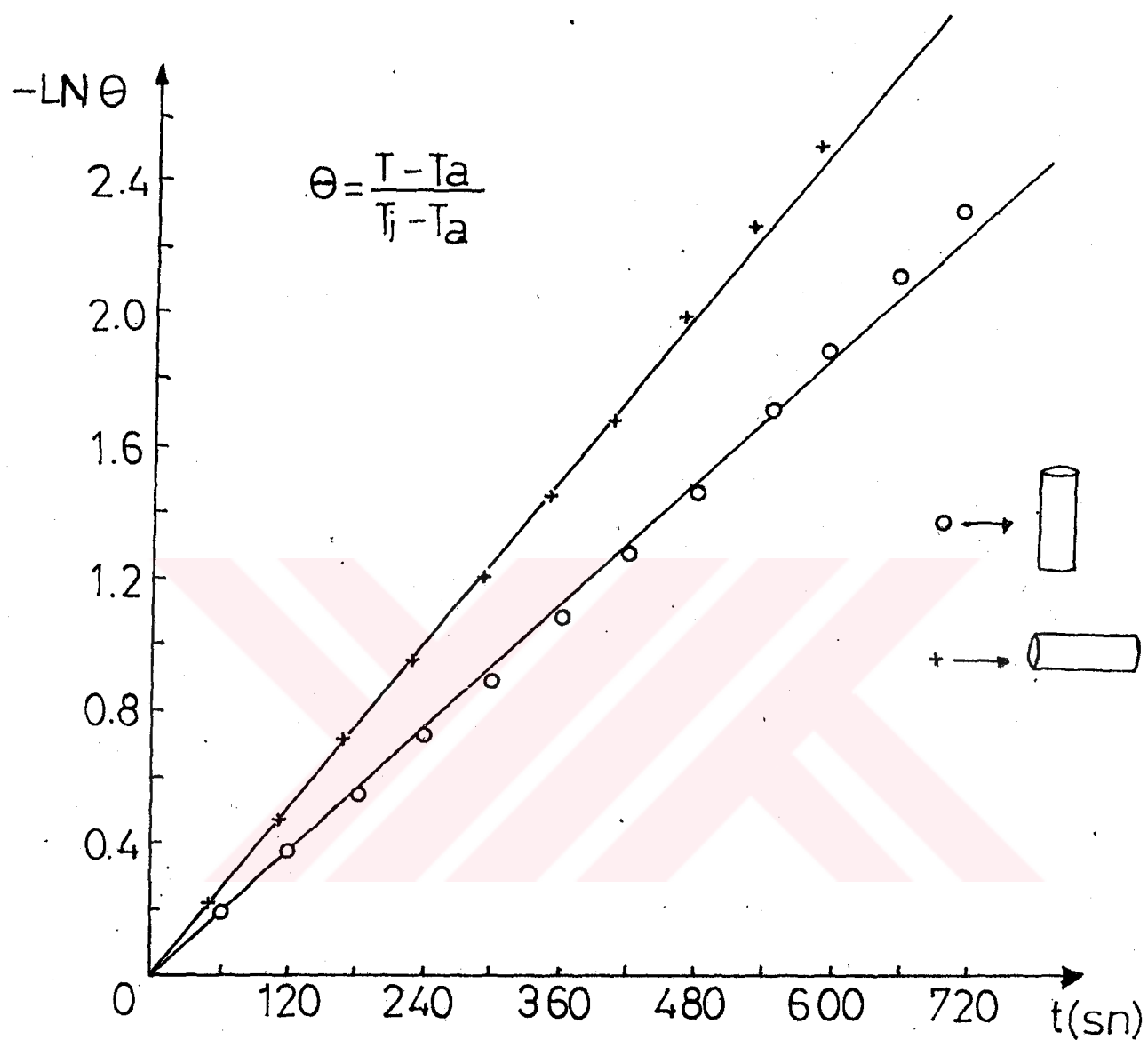
SCHWARTZBERG, H.G., 1977, Effective Heat Capacities for Freezing and Thawing of Foods, IIR. Commissions C1, C2., Karlsruhe, 303, Alınmıştır: RAMASWAMY ve TUNG (1984).

SCHWARTZBERG, H.G. ve ark., 1977, The Prediction of Freezing and Thawing Temperatures vs. Time Behavior Through the Use of Effective Heat Capacity Equations, IIR. Commissions C1, C2., Karlsruhe, 311, Alınmıştır: RAMASWAMY ve TUNG (1984).

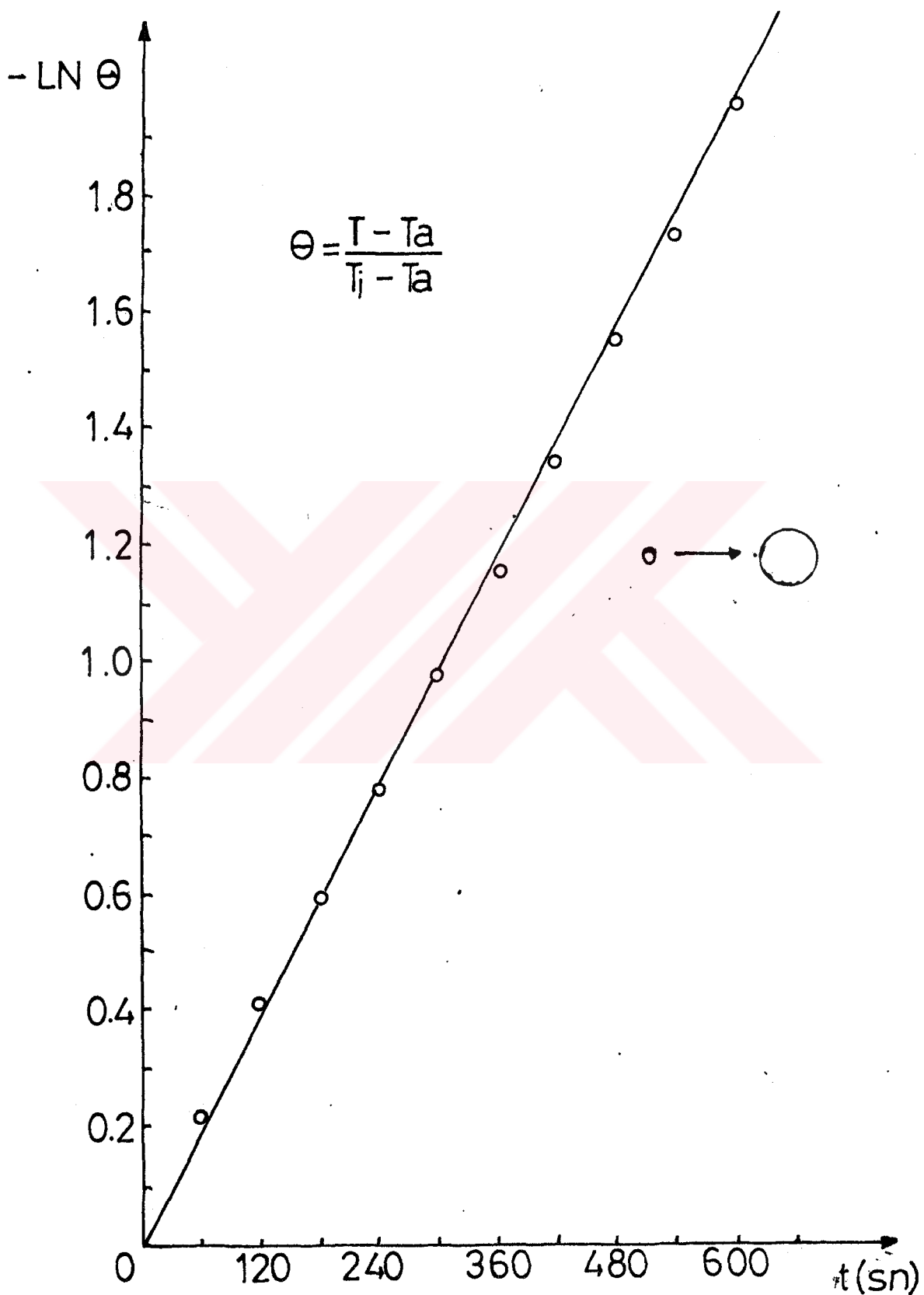
**EMLER**



Ek 1. Dikdörtgenler prizması için soğuma eğrileri.



Ek 2. Sonlu silindir için soğuma eğrileri.



Ek 3. Küre için soğuma eğrisi.

## SEMBOLLER

|                 |  |
|-----------------|--|
| A               | : Alan ( $m^2$ )   |
| B <sub>i</sub>  | : Biot sayısı  |
| C               | : Donma noktasının Üstündeki Özgül ısı ( $kJ/kg K$ )     |
| C'              | : Donma noktasının altındaki Özgül ısı ( $kJ/kg K$ )     |
| CAP(I)          | : Özgül ısı $\times$ yoğunluk ( $kJ/m^3 K$ )             |
| D <sub>eq</sub> | : Eşdeğer çap (m)  |
| D <sub>sv</sub> | : Cisimle aynı hacim/alan oranına sahip kürenin çapı (m) |
| D <sub>v</sub>  | : Cisimle aynı hacme sahip kürenin çapı (m)              |
| $\Delta H$      | : Entalpi farkı ( $kJ/m^3$ )                             |
| KIM12(I)        | : Isıl iletkenlik katsayısı ortalaması ( $W/m K$ )       |
| KIP12(I)        | : Isıl iletkenlik katsayısı ortalaması ( $W/m K$ )       |
| L               | : Latent ısı ( $kJ/kg$ )                                 |
| M               | : Sabit  |
| N               | : Sabit  |
| P               | : Geometrik şekil faktörü                                |
| P <sub>k</sub>  | : Planck sayısı  |
| Q               | : Ün soğuma ısısı ( $kJ/kg$ )                            |
| R               | : Geometrik şekil faktörü                                |
| S <sub>p</sub>  | : Cismın alanı ( $m^2$ )                                 |
| Ste             | : Stefan sayısı  |
| T <sub>a</sub>  | : Ortam sıcaklığı ( $^{\circ}C$ )                        |
| T <sub>f</sub>  | : Son sıcaklık ( $^{\circ}C$ )                           |
| T <sub>i</sub>  | : İlk sıcaklık ( $^{\circ}C$ )                           |
| T <sub>w</sub>  | : Yüzey sıcaklığı ( $^{\circ}C$ )                        |
| V <sub>p</sub>  | : Cismın hacmi ( $m^3$ )                                 |

- $c_p$  : Özgül ısı ( $\text{kJ/kg K}$ )  
 $h$  : Isı aktarım katsayısı ( $\text{W/m}^2 \text{ K}$ )  
 $i$  : Konum gösteren alt indis  
 $k$  : Domda noktasının üzerindeki ısıl iletkenlik katsayısı ( $\text{W/m K}$ )  
 $k'$  : Domda noktasının altındaki ısıl iletkenlik katsayısı ( $\text{W/m K}$ )  
 $n$  : Zaman gösteren alt indis  
 $\Delta t$  : Zaman farkı ( $\text{s}$ )  
 $\Delta x$  : Uzaklık farkı ( $\text{m}$ )  
 $\beta$  : En uzun boyutun en kısa boyuta oranı  
 $\rho$  : Domda noktasının üzerindeki yoğunluk ( $\text{kg/m}^3$ )  
 $\rho'$  : Domda noktasının altındaki yoğunluk ( $\text{kg/m}^3$ )  
 $\bar{x}$  : Ortalama hata  
 $\sigma_{n-1}$  : Hata standart sapması

## BİLGİSAYAR PROGRAMLARINDA KULLANILAN DEĞİŞKENLER

- CP(I) : Sıcaklıkla değişen Üzgül ısı  $\times$  yoğunluk değerleri ( $\text{kJ/m}^3 \text{ K}$ )
- DTAU : Zaman artışı (time increment) (s)
- GO(TIME) : Başlangıç koşulu
- H : Isı aktarım katsayısı ( $\text{W/m}^2 \text{ K}$ )
- KP(I) : Sıcaklıkla değişen ısıl iletkenlik katsayısı değerleri ( $\text{W/m K}$ )
- L : Merkez uzaklığı (m)
- MTABLE : Sıcaklıkla değişen ısıl iletkenlik katsayısı adedi
- NTABLE : Sıcaklıkla değişen Üzgül ısı  $\times$  yoğunluk değerleri adedi
- TAMB : Ortam sıcaklığı ( $^{\circ}\text{C}$ )
- TAUMAX : Maksimum zaman (s)
- TIN : İlk sıcaklık ( $^{\circ}\text{C}$ )
- TLow : Son sıcaklık ( $^{\circ}\text{C}$ )

## TEŞEKKÜR

Tez çalışmamı hassasiyetle yöneten ve çalışmalarımı emeği geçen hocam Sayın Doç. Dr. Coşkan İLICALI'ya, doma verilerini kaydedilmesinde yardımcı olan Ar. Gör. Taner BAYSAL ve İlknur KAZAZLAR'a ve tezimin daklılo edilmesinde gerekli sabır ve özeni gösteren dostum Erhan KEŞFEDEN'e teşekkürlerimi sunarım.

W.C.  
Tükseköğretim Kurulu  
Doktora Tezleri İnceleme Komisyonu